

UNIVERSITE DU BURUNDI



FACULTE DES SCIENCES DE L'INGENIEUR

Département des Technologies de l'Information et de la Communication
Mémoire de Mastère en Génie Informatique

ETUDE DE LA COMPILATION DE L'IMPLEMENTATION DE
L'ALGORITHME DU CRYPTOSYSTEME DE DIFFIE HELLMAN

Par :

HAKIZIMANA JEAN BOSCO

En vue de l'obtention d'un diplôme de Mastère en Génie Informatique

Défendu et soutenu le 22/11/2018

Sous la direction de :

Dr NDAYISABA Longin

Membres du Jury:

Dr NDIKUMAGENGE Jérémie : Président

Dr SAHINGUVU William : Vice-président

Dr MUKESHIMANA Michèle : Secrétaire

Dr NDAYISABA Longin : Directeur

DEDICACES

A ma chère Mère;

A mon cher Père;

A mes frères et sœurs;

A la famille de BIRURA Joseph ;

A la famille de CIZA François ;

A toute ma famille ;

A tous mes camarades de classe;

A tous mes amis.

REMERCIEMENTS

Mes vifs remerciements s'adressent premièrement à Dieu tout puissant qui ne m'a pas abandonné tout au long de mes études. Je remercie également mes parents et toute ma famille qui m'ont guidé depuis mon enfance jusqu'aujourd'hui. Mes remerciements s'adressent également à tous les enseignants qui m'ont enseigné depuis l'école primaire jusqu'à l'université, et plus particulièrement à mon Directeur de Mémoire Dr NDAYISABA Longin pour avoir dirigé ce mémoire. Je tiens à remercier tous les membres du Jury .Je remercie mes camarades de classe et tous mes amis qui m'ont aidé dans pas mal de choses tout au long de mon parcours académique.

LISTE DES SIGLES ET ABREVIATIONS

Bit	: Binary digit
ECDSA	: Elliptic Curve Digital Signature Algorithm
GF	: Galois Field
ICT	: Information and Communications Technology
LALR	: Look ahead Left to right,Rightmost
LL	: Left to right,Leftmost
LR	: Left to right,Rightmost
Mod	: Modulo
RSA	: Rivest Shamir Adleman
SLR	: Simple Left to right,Rightmost

LISTE DES TABLEAUX

Tableau 1	Echange de clé sans espion.....	17
Tableau 2	Echange de la clé avec présence de l'espion.....	18
Tableau 3	Pas de géant pour les courbes elliptiques	31
Tableau 4	Pas de bébé les courbes elliptiques.....	31
Tableau 5	pas de bébé pour le cryptosystème Diffie-Hellman.....	36
Tableau 6	Pas de géant pour le cryptosystème Diffie-Hellman	36
Tableau 7	Lexèmes et unités lexicales correspondantes	48
Tableau 8	Table de transition	49
Tableau 9	Table de prédiction.....	57
Tableau 10	Table de réduction	58
Tableau 11	Table d'action pour la méthode LR	67
Tableau 12	Table de successeur pour la méthode LR	67
Tableau 13	Table d'action pour la méthode SLR	73
Tableau 14	Table de successeur pour la méthode SLR.....	74
Tableau 15	Attribut valeur	83
Tableau 16	Attribut type	84
Tableau 17	Production et actions sémantiques correspondantes.....	86

LISTE DES FIGURES ET SCHEMAS

Figure 1 Addition de 2 points distincts	22
Figure 2 Doublement D'un point.....	23
Figure 3 Automate fini déterministe	49
Figure 4 Automate minimisé.....	51
Figure 5 Automate minimisé et renommé.....	52
Figure 6 Arbre syntaxique.....	59
Figure 7 Premier état de la pile	61
Figure 8 Deuxième état de la pile.....	61
Figure 9 Réduction de id en T.....	61
Figure 10 Troisième état de la pile.....	61
Figure 11 Réduction de T en E.....	62
Figure 12 Quatrième état de la pile	62
Figure 13 Précédent état de l'arbre syntaxique.....	62
Figure 14 Cinquième état de la pile.....	62
Figure 15 Etat précédent de l'arbre syntaxique	63
Figure 16 Sixième état de la pile.....	63
Figure 17 Réduction de id en T.....	63
Figure 18 Etat 7 de la pile	64
Figure 19 Réduction de T + E en E.....	64
Figure 20 Arbre syntaxique complet.....	64
Figure 21 Automate.....	66
Figure 22 Premier état de la pile	68
Figure 23 Deuxième état de la pile.....	68
Figure 24 Etat 3 de la pile	68
Figure 25 Etat 4 de la pile	69
Figure 26 Etat 5 de la pile	69
Figure 27 Réduction de T en E.....	69
Figure 28 Etat 6 de la pile	69

Figure 29 Etat 7 de la pile	69
Figure 30 Etat 8 de la pile	70
Figure 31 Etat 9 de la pile	70
Figure 32 Réduction de id en T.....	70
Figure 33 Etat 10 de la pile	70
Figure 34 Etat 11 de la pile	70
Figure 35 Réduction de E+T en E.....	71
Figure 36 Etat12 de la pile	71
Figure 37 Arbre syntaxique obtenue par LR.....	71
Figure 38 Automate SLR	72
Figure 39 Etat 1 de la pile	74
Figure 40 Etat 2 de la pile	75
Figure 41 Etat 3 de la pile	75
Figure 42 Réduction de id en F.....	75
Figure 43 Etat 4 de la pile	75
Figure 44 Etat 5 de la pile	75
Figure 45 Réduction de F en T.....	76
Figure 46 Etat 6 de la pile	76
Figure 47 Etat 7 de la pile	76
Figure 48 Réduction de T en E.....	76
Figure 49 Etat 8 de la pile	77
Figure 50 Etat 9 de la pile	77
Figure 51 Etat 10 de la pile	77
Figure 52 Etat 11 de la pile	77
Figure 53 Réduction de id en F.....	77
Figure 54 Etat 12 de la pile	78
Figure 55 Etat 13 de la pile	78
Figure 56 Réduction de F en T.....	78

Figure 57 Etat 14 de la pile	78
Figure 58 Etat 15 de la pile	78
Figure 59 Etat 16 de la pile	78
Figure 60 Etat 17 de la pile	79
Figure 61 Réduction de F en T.....	79
Figure 62 Etat 18 de la pile	79
Figure 63 Etat 19 de la pile	79
Figure 64 Réduction de T*F en T	80
Figure 65 Etat 20 de la pile	80
Figure 66 Etat 21 de la pile	80
Figure 67 Réduction de E+T en E.....	80
Figure 68 Etat 22 de la pile	81
Figure 69 Arbre syntaxique obtenue par SRL.....	81
Figure 70 Arbre syntaxique du mot.....	82
Figure 71 Arbre syntaxique abstrait du mot analysé.....	82
Figure 72 Attributs synthétisés.....	84
Figure 73 Attribut hérité.....	85
Figure 74 Arbre syntaxique décoré	86
Figure 75 Arbre syntaxique abstrait pour la génération du code.....	87
Figure 76 Manipulation des variables par des registres	88

RESUME DU THEME

Le thème de notre projet est intitulé l'étude de la compilation de l'implémentation de l'algorithme du cryptosystème de Diffie-hellman. Notre projet concerne d'une part le fonctionnement d'un compilateur pour générer un code cible en langage de bas niveau à partir d'un programme de haut niveau pour les développeurs des logiciels. Pour ce faire toutes les phases de la compilation sont détaillées. La phase d'analyse lexicale qui permet de déterminer les mots qui sont reconnus dans un langage donné, les automates sont utilisés pour reconnaître ces mots. Pour la phase d'analyse syntaxique, les deux méthodes d'analyse syntaxique qui sont l'analyse syntaxique ascendante et l'analyse syntaxique descendante permettent de ranger les mots tout en respectant les règles de la grammaire. Dans cette phase les grammaires hors contextes sont mises en jeu pour déterminer si la succession des mots est reconnu par une grammaire du langage. La phase d'analyse sémantique qui est destinée à donner le sens, les grammaires attribuées sont employées. La phase de synthèse donnant lieu à un code cible. D'autre part notre projet concerne à explorer les systèmes cryptographiques à échange sécurisé des clés pour lesquels la sécurité est basée sur la difficulté de résoudre le problème du logarithme discret et la mise en jeu des grands nombres premiers notamment pour le cryptosystème El Gamal, la signature numérique El Gamal, la cryptographie et la signature numérique basées sur les courbes elliptiques et le cryptosystème de Diffie hellman. La cryptographie quantique est aussi explorée. Pour ce dernier la sécurité découle du théorème du non-clonage et du principe d'incertitude de Heisenberg. La signature numérique RSA et la fonction de hachage sont utilisées pour sécuriser les échanges des paramètres de l'algorithme de Diffie Hellman.

TABLE DES MATIERES

DEDICACES	i
REMERCIEMENTS	ii
LISTE DES SIGLES ET ABREVIATIONS.....	iii
LISTE DES TABLEAUX.....	iv
LISTE DES FIGURES ET SCHEMAS	v
RESUME DU THEME.....	viii
TABLE DES MATIERES	ix
CHAPITRE I INTRODUCTION GENERALE.....	1
I.1 Introduction.....	1
I.2 Actualité et justification du projet.....	1
I.3. Objectifs du projet.....	2
I.3.1. Objectif global	2
I.3.2. Objectifs spécifiques.....	2
I.4. Problématiques et solutions proposées	2
I.4.1. Problématiques.....	2
I.4.2. Solutions proposées	3
I.5. Résultats attendus.....	3
I.6. Impacts socio-économiques	3
I.7. Domaine d'application.....	3
I.8.Méthodologie	4
I.9.Conclusion	4
CHAPITRE II ETUDE EXPLORATOIRE DES SYSTEMES CRYPTOGRAPHIQUES D'ECHANGE SECURISE DES CLES.....	5
II. 1. Introduction	5
II.2. Cryptosystème de Diffie-Hellman.....	5
II.3.Cryptosystème D'ElGamal.....	7

II.4 Protocole de signature numérique El Gamal	13
II.5. Cryptographie quantique	14
II.5. 1. Généralités	14
II.5. 2. Mécanisme de mesure de la polarisation d'un photon.....	15
II.5. 3. Echange des clés	15
II.6 .Cryptographie basée sur les courbes elliptiques.	19
II.6 .1.Généralités	19
II.6 .2. Courbes elliptiques dans un corps binaire	19
II.6. 3. Addition de deux points dans $GF(2^n)$	21
II.6 .4. Addition de deux points de la courbe dans Z_p	21
II.6.5.Théorème de Hasse.....	23
II.6 .6. Echange de clé basée sur les courbes elliptiques	24
II.6 .7. Algorithme de cryptage et de décryptage	25
II.6.8 Algorithme de signature numérique	28
II.6 .9.Algorithmes résolvant le problème du logarithme discret.....	30
II.10. Conclusion	31
CHAPITRE III IMPLEMENTATION DU CRYPTOSYSTEME DE DIFFIE HELLMAN.....	32
III.1. Introduction	32
III.2. But et fonctionnement de l'algorithme Diffie-Hellman.....	32
III.3.Problème du logarithme discret.....	33
III.3.1. Problème du logarithme discret dans le group Z_p^*	33
III.3.2.Quelques propriétés de Z_p^*	33
III.3.3.Problème du logarithme discret dans le groupe Z_n^*	34
III.3.4. Quelques algorithmes utilisés pour résoudre le problème du logarithme discret.....	35
III.4. Diffie-Hellman et l'attaque de l'homme du milieu.....	36
III.5. Signature numérique	37
III.6. Modèle mathématique	44
III. 7.Conclusion.....	46

CHAPITRE IV ETUDE DE LA COMPILATION	47
IV.1. Introduction.....	47
IV.2. Analyse lexicale	47
IV.2.1. Automate fini déterministe.....	48
IV.2.2.Minimisation de l'automate	49
IV.2.3. Expression régulière.....	51
IV.3.Analyse syntaxique	54
IV.3.1. Méthode universelle.....	54
IV.3.2.Analyse syntaxique descendante.....	55
IV.3.3.Analyse syntaxique ascendante.....	59
IV.4.Analyse sémantique	81
IV.4.1 Arbre syntaxique décoré et l'arbre syntaxique abstrait.....	81
IV.4.2 Traduction dirigée par la syntaxe.....	83
IV.5. Phase de synthèse.....	85
IV.5.1 Génération du code à partir du code en trois adresses.	85
IV.5.2.Génération du code à partir de l'arbre syntaxique abstrait.....	87
IV.6.Conclusion	88
CONCLUSION GENERALE ET RECOMMANDATIONS	89
CONCLUSION GENERALE	89
Recommandations	90
Recommandations adressées aux entreprises	90
Recommandations aux futurs lauréats.....	90
REFERENCES.....	91
OUVRAGES	91
WEBOGRAPHIE.....	92

CHAPITRE I INTRODUCTION GENERALE

I.1 Introduction

Le domaine informatique a beaucoup révolutionné le monde permettant aux entreprises l'utilisation des nouvelles technologies de l'information et de la communication au sein des entreprises. Les technologies de l'information et de la communication ont un rôle important dans plusieurs domaines de la société en général et dans le domaine économique en particulier. Le transfert, le traitement de l'information sont rendus rapide et facile grâce aux nouvelles technologies de l'information et de la communication. C'est dans cette optique que l'être humain ne cesse pas de rendre les nouvelles technologies de l'information et de la communication plus meilleures avec le temps. Les programmes exécutant des tâches spécifiques sont développés pour bien traiter et transmettre l'information. Comme des informations confidentielles circulent sur les réseaux, la sécurité des informations est devenue une préoccupation importante des utilisateurs. La cryptographie étant l'un des moyens de sécurité de l'information pendant la transmission de ces informations, dans notre travail nous utilisons le cryptosystème de Diffie-hellman pour que l'échange de l'information via un réseau public soit fait avec garantie de l'intégrité, de confidentialité de l'information et de l'authenticité et la non-répudiation.

Notre projet se rapporte surtout sur l'étude de la compilation de l'algorithme de ce cryptosystème de Diffie-hellman permettant de voir en détail le fonctionnement du compilateur utilisé pour compiler l'algorithme de ce cryptosystème en particulier et le fonctionnement du compilateur de façon générale pour compiler n'importe quel programme en langage de haut niveau.

I.2 Actualité et justification du projet

A l'heure actuelle avec l'avancée spectaculaire dans le domaine des nouvelles technologies de l'information et de la communication, l'information circulant sur le réseau peut être interceptée ou modifiée par les malfaiteurs. Dans des entreprises il est commode de ne pas exposer une information aux personnes qui ne sont pas destinée à avoir connaissance de cette information. Pour une entreprise qui utilise un réseau public pour échanger des informations, il est crucial d'implanter la cryptographie symétrique utilisant la clé obtenue du cryptosystème de Diffie Hellman. Les programmeurs ont un intérêt majeur de comprendre les détails sur le fonctionnement du compilateur.

En matière de sécurité informatique, quelques entreprises utilisent des antivirus et l'accès aux outils informatiques avec des mots de passe, mais n'ont pas intégré la cryptographie dans leur système d'échange d'information.

Du point de vue de services de développement de logiciels, il y en a des développeurs disposant des outils bien adaptés à la programmation moderne que ce soit au point de vue matérielle qu'au point de vue logicielle.

I.3. Objectifs du projet

Notre projet spécule surtout sur l'objectif particulièrement bien spécifié, bien que ces objectifs puissent se globaliser.

I.3.1. Objectif global

L'objectif global de notre travail est de mettre en place un cryptosystème permettant l'échange des clés et de montrer en détail le fonctionnement d'un compilateur au moment de la compilation du programme source.

I.3.2. Objectifs spécifiques

Objectifs spécifiques qu'on doit atteindre dans notre projet sont :

- Générer des clés par le cryptosystème de Diffie Hellman en utilisant des grands nombres premiers s'écrivant au moins sur 2048 bits.
- Echanger des paramètres permettant la génération de ces clés de façon sécurisée.
- Rendre confidentielles et intègres les clés échangées
- Définir et montrer en long et en large les étapes et le fonctionnement du compilateur.

I.4. Problématiques et solutions proposées

I.4.1. Problématiques

D'une part en échangeant des informations, on prétend que l'information arrive à la destination sans être altérée ou sans qu'une personne non autorisée puisse récupérer et regarder le contenu de l'information. Par ailleurs, en utilisant le réseau internet accessible par tout le monde pour se communiquer une clé, les informations échangées peuvent être interceptées et altérées par des personnes malintentionnées. D'autre part, le fonctionnement du compilateur n'est pas été bien maîtrisé par pas mal de développeurs des logiciels.

I.4.2. Solutions proposées

Pour bien mener le service de production des logiciels, les développeurs ont intérêt majeur de bien maîtriser le fonctionnement d'un compilateur. Pour que l'information soit sécurisée contre les attaques pouvant intercepter ou altérer les informations au moment de la communication, des mesures de sécurisé suivantes doivent être prises :

1. Générer une clé de Diffie Hellman qui est utilisée pour le chiffrement et le déchiffrement des données dans un cryptosystème symétrique.
2. La signature des paramètres échangés pour générer la clé de Diffie Hellman est réalisée en utilisant une fonction de hachage et le schéma du cryptosystème RSA avec des nombres premiers assez grands s'écrivant au moins sur 2048 bits pour pallier aux attaques dites Man in the middle.

I.5. Résultats attendus

Les clés éphémères de Diffie Hellman seront générées chaque fois qu'il est question d'échanger des données cryptées. Les paramètres échangés entre deux individus pour générer la clé sont signés. Connaissant le fonctionnement du compilateur au moment de la compilation du programme écrit en langage de haut niveau, les développeurs produiront mieux beaucoup de logiciels qu'avant. Les développeurs seront également capables de développer leurs propres compilateurs qui seront utilisées pour des faits particuliers selon les demandes de leurs clients.

I.6. Impacts socio-économiques

La qualité des services rendus par les développeurs sera très considérable. Du point de vue service de production des logiciels, les développeurs seront menés à utiliser peu de temps pour répondre aux besoins de leurs clients. Ayant une communication sécurisée avec des clés obtenues à partir des grands nombres premiers, mais aussi la signature avec le cryptosystème RSA et la fonction de hachage, les attaquants sont incapables d'intercepter ou d'altérer les informations. Ce qui permettra de travailler avec la tranquillité, par conséquent de gagner la confiance de la clientèle.

I.7. Domaine d'application

Le produit du travail de notre projet est destiné à être utilisé dans tous les domaines où il s'avère nécessaire de crypter les informations communiquées entre deux individus nécessitant d'abord l'échange sécurisé des clés. Le projet est aussi de grande importance pour n'importe quel développeur

des logiciels qui veut bien mener son métier de développement des logiciels ou de produire des compilateurs.

I.8.Méthodologie

La méthode d'entretien est utilisée pour collecter et analyser les données. L'entretien avec le chef du personnel de l'une des entreprises des développeurs a été fait.

I.9.Conclusion

Avec les besoins et l'utilisation des technologies de l'information et de la communication, notre projet est de grande importance dans la société en général et dans les entreprises qui développent des logiciels en particulier qui en profite de deux côtés : côté de développement des logiciels et côté de sécurisation de la communication en utilisant des cryptosystèmes très puissants.

CHAPITRE II ETUDE EXPLORATOIRE DES SYSTEMES CRYPTOGRAPHIQUES D'ECHANGE SECURISE DES CLES.

II. 1. Introduction

La cryptographie est une science permettant de convertir des informations "en clair" en informations codées, c'est à dire non compréhensibles, puis, à partir de ces informations codées, de restituer les informations originales [2.1]. L'échange de clé est un problème majeur auquel la cryptographie symétrique est confrontée. Si deux personnes veulent communiquer des messages cryptés, ils doivent se rencontrer pour échanger la clé, ce moyen est inefficace si deux personnes sont séparées par une longue distance et qu'ils veulent changer la clé chaque fois qu'ils veulent échanger des messages. En cryptographie asymétrique, la clé privée peut être trouvée à partir de la clé publique lorsque cette dernière est de petite taille. Le cryptosystème de Diffie-Hellman, Cryptosystème D'El Gamal, la cryptographie quantique et la cryptographie basée sur les courbes elliptiques sont traités dans notre travail comme moyen efficace d'échange des clés.

II.2. Cryptosystème de Diffie-Hellman

Ce cryptosystème n'est pas utilisé pour crypter un message mais il est utilisé pour générer et échanger la clé de manière sécurisée qui sera utilisée ultérieurement dans un autre cryptosystème et plus précisément le cryptosystème symétriques. Si deux personnes Alice et Bob veulent échanger la clé en utilisant le cryptosystème de Diffie-Hellman. Les algorithmes utilisés pour échanger les clés sont les suivants : On donne q d'au moins 160 bits de longueur; p d'au moins 1024 bits. On a besoin des paramètres publics (p , q , g). Les parties Alice et Bob doivent sélectionner les clefs privées dans l'intervalle $[2, q - 2]$

L'algorithme de génération des paramètres publics

ENTREE: nombres p et q premiers avec des bits de longueur exigée.

SORTIE: paramètres (p , q , g).

1. Générer au hasard un nombre premier q avec la longueur des bits exigée.
2. Choisir un nombre j de longueur des bits égale à $\text{bitlen}(p) - \text{bitlen}(q)$
3. Calculer $p = jq + 1$. Si p pas premier, alors aller à 2.

4. Choisir au hasard un nombre h dans l'intervalle $1 < h < p - 1$.

5. Calculer $g = h \bmod p$. Si $g = 1$ alors aller à 4.

6. Retourner (p, q, g)

Algorithme de vérification des paramètres publics

ENTREE: paramètres (p, q, g) .

SORTIE: Accepter ou rejeter les paramètres.

1. Tester $1 < g < p - 1$. Si non, retourner "rejeter paramètres" et stop

2. Tester la primalité de q . Si q pas premier alors retourner "rejeter paramètres" et stop

3. Tester la primalité de p . si p pas premier alors retourner "rejeter paramètres" et stop

4. Calculer $(p-1) \bmod q$. Si $\neq 0$ alors retourner "rejeter paramètres et stop

5. Calculer $g^q \bmod p$. Si $\neq 1$ alors retourner "rejeter paramètres" et stop

6. Retourner "Accepter paramètres"

Algorithme de génération de la clef à partager par la partie Alice

ENTREE: Paramètres (p, q, g)

SORTIE: La clef privée/publique (a, A)

1. Alice choisit un nombre a dans l'intervalle $[2, q - 2]$.

2. Calcule $A = g^a \bmod p$.

3. Retourne (a, A) . garde a secrète.

Algorithme de génération de la clef à partager par la partie Bob

ENTREE: Paramètres (p, q, g)

SORTIE: La clef privée/publique (b, B)

1. Bob choisit un nombre b dans l'intervalle $[2, q - 2]$.

2. Calcule $B = g^b \text{ mod } p$.
3. Retourne (b, B) . garde b secrète.

Algorithme de calcul de la clef secrète partagée par la partie Alice

ENTREE: Paramètres $(p, q, g), B, a$

SORTIE: clef secrète partagée Z_A .

1. Tester $1 < B < p$ et $B^a \text{ mod } p = 1$. Si non "échec" et stop.
2. Calcule $Z_A = B^a \text{ mod } p$
3. Retourner Z_A .

Algorithme de calcul de la clef secrète partagée par la partie Bob

ENTREE: Paramètres $(p, q, g), A, b$

SORTIE: clef secrète partagée Z_B .

1. Tester $1 < A < p$ et $A^b \text{ mod } p = 1$. Si non "échec" et stop.
2. Calcule $Z_B = A^b \text{ mod } p$
3. Retourner Z_B .

La clé qui est générée est alors $Z_A = B^a \text{ mod } p = Z_B = A^b \text{ mod } p$. L'importance de ce cryptosystème réside dans la difficulté de résoudre un problème appelé problème du logarithme discret qui consiste à déterminer la valeur de la variable x dans les situations suivantes : $\text{Log}_\alpha \beta = x$ ou $\beta = \alpha^x$. Ce problème est difficile à résoudre voire impossible à résoudre en temps raisonnable pour les grands nombres. Néanmoins, ce cryptosystème peut être heurté à l'attaque dite, the man in the middle. Mais cette attaque peut être évitée en utilisant la signature numérique.

II.3. Cryptosystème D'ElGamal

Les algorithmes de génération et d'échange des clés du Cryptosystème D'ElGamal sont établis comme ceux du cryptosystème de Diffie-Hellman. Le Cryptosystème D'ElGamal permet de crypter et de décrypter un message en utilisant la clé échangée. Le cryptage et le décryptage sont procédés comme suit :

Algorithme de cryptage d'ElGamal

ENTREE: Paramètres (p,q,g) ; clef publique B ; message à crypter m dans

l'intervalle $0 < m < p - 1$

SORTIE: Ciphertext (C_1, C_2) .

- 1. Choisir au hasard k dans l'intervalle $1 < k < p - 1$*
- 2. Calculer $C_1 = g^k \text{ mod } p$*
- 3. Calculer $C_2 = mB^k \text{ mod } p$*
- 4. Retourner ciphertext (C_1, C_2) .*

Algorithme de décryptage d'ElGamal

ENTREE: Paramètres (p,q,g) ; clef privée b ; ciphertext (C_1, C_2)

SORTIE: Message décrypté m .

- 1. Calcule $m = C_1^{p-b-1} C_2 \text{ mod } p$.*
- 2. Retourne m .*

Une particularité du chiffrement d'ElGamal est qu'il n'est pas déterministe. En effet, pour des paramètres identiques, tels que p , g et la paire de clés, deux chiffrements du même message clair M donneront deux messages chiffrés différents.[1] Il est à remarquer que l'importance de ce cryptosystème réside dans la difficulté de résoudre le problème du logarithme discret. Mais également, il peut être soumis à l'attaque dite Man in the middle. Cette attaque peut aussi être contournée en utilisant la signature numérique pour assurer l'intégrité des messages et l'authentification de l'expéditeur au moment de l'échange des paramètres pour générer la clé.

Le cryptosystème El Gamal est illustré par un exemple ci-dessous :

Q=2717751174814274976443348148508033209051196834786308003126001
685245368860126593668120464888221451593556546383834659712095259
718776828453426266651421064997851196970661507770713159008985440
996309946877769316794372257336699390090039591466027859726944154
135808617126796257012445990874974491001572651997989529932539014
138853226916977802512215461610375464681222033351977762143995547
455784014444428337557559857395144734414446094517117667054360807
860749690604519698774245044886898241011392930352688724794941425

631211354225276518285138386161815840541008678963431040449893295
2526779669305722106881776018329375022947460668665239

La valeur de j trouvée est: 930

La valeur trouvée de P est:

252750859257727572809231377811247088441761305635126644290718156
727819303991773211135203234604594998200758813696623353224859153
846245046168642798582159044800161318271520222676323787835646012
656825059632546461876619932313043278373682006340590954605806334
630201392792051902157477151372627663146256635813026283726128314
913350103278935633636037929764918215353649101733931879391585913
387913343331835392853066737748460300543486790091943036055555131
049721226220331986004789174481536414059542522800051405929552583
702655942950716200517869913048873170313807143599086761840076458
49905092454321559400051697046318771341138421858672271

La valeur de h est 2

La valeur de g est:

907603093553334388914833067718445166095739869176876500888532628
977014561255129622525127145078220428826781447625850203277865347
439907779362665301868348629532338239038359045333216971685689878
989788964352894501609622844084904100268608494323083708897755744
6564364344140092918489677824

La valeur de a est 5

La valeur de b est 7

La valeur $g^a \bmod p$ que l'interlocuteur A envoie à l'interlocuteur B est :

161060044139444141559818123108773550260866326345565982421420347
056017201775646673664243244475102561820236236553721945736476203
768496093071697774904725148355132551616182108357891451232633236
463904173879882633374847387094051119794192719094577421456934941
877443323440702667536603190595070417878932615640318530254539301
112756382027636431829280776869401192593606920582853320875603167
155044990326519883948240346848383483052837575759856388922949336
824622334649051823760750720553818832612524098969025888821200636
178077690276484864781795138863875508988152054724092138359879868
72312753139540884579709957218434696317932323493127072

La valeur $g^b \bmod p$ que l'interlocuteur B envoie à l'interlocuteur A est :

174962041614393904292556422847575948812068287368896754866858431
 590118907069640271414376979096656988469531165381805897618991234
 141534763531546537766670071906308929361989073492647590725031195
 339489216391760579607338540256846170612017148020940714111291787
 053196428139892063424220852472039768657376648560346533678836785
 434885242876249619370301902507335286296259149773259559432361075
 733112615713430449734159604221261673928856154301104540578693019
 996872638423562334625088701787860561156922591233077279249966868
 119998540465997581670864574885204564755431837400386139750118415
 32268011673780638314271078057759696516253413975539090

ZA=12983960098028644278720696078485124509597372370458345090973
 029574231553707277728077852948897004273761527080245301979203347
 973160561174761757958909876828259891611431742671176377660937557
 974001836034792051506163640933438508961106520152122886671127776
 972976138300112668690389506373998091991373595858198093443259435
 711118250517438991370223536904407969511802554332343548360619779
 669092397101939741443207366064389377543108932247670050057725746
 602252990015409010581740646309816997703314062740124048361522161
 730882049168792357128586594083705978832339123722106275142065186
 484325700249924783366888923925245937819256307692956072419

ZB=12983960098028644278720696078485124509597372370458345090973
 029574231553707277728077852948897004273761527080245301979203347
 973160561174761757958909876828259891611431742671176377660937557
 974001836034792051506163640933438508961106520152122886671127776
 972976138300112668690389506373998091991373595858198093443259435
 711118250517438991370223536904407969511802554332343548360619779
 669092397101939741443207366064389377543108932247670050057725746
 602252990015409010581740646309816997703314062740124048361522161
 730882049168792357128586594083705978832339123722106275142065186
 484325700249924783366888923925245937819256307692956072419

Soit hello le mot à crypter

Soit la valeur de $k = 4$

Le cryptage du mot hello est constitué par des couples suivants :

(18229249207894241071152470062568689310171501954882944639580318
 470455749701376330254867887014370481525366691080773571043859675
 086934343925875920504249943663228484987828434900620823882326734
 456589063109367754009803214369186161258146842575038783220237672
 981132762769292263026497188338176053214945574200672522958533314
 853910089991786419860426749939881366048097033798142016583981635
 868839650117750531961198140115560005774430747665755015411439081
 171555847636470237835832434206342703231894919620051790348680611
 951025695568718876810552948975518603437257878792531397558556363
 286191290381022120413334946086618011465815411924496281 ,

121269557288793896305307171710058721998484973900031530009941800
 482074352517164380034874031916217347299628569985149467189823014
 107119034779400158818082084617098561448903994372044021731412487
 669604286742083911067303609835598358512225952776895922992663047
 942846999662932989208205136418125825642223287948103015346067201
 413226917703323412197028929032122220316551578713347291342865173
 902670673524710306193266208753385888800761820491578090123581854
 835099098495588828025528221835291769739110881461037039526080957
 328035586211739612809085821180439776057838031273179865515610870
 00592159326246311916419387422981484259322265519569765)

(18229249207894241071152470062568689310171501954882944639580318
 470455749701376330254867887014370481525366691080773571043859675
 086934343925875920504249943663228484987828434900620823882326734
 456589063109367754009803214369186161258146842575038783220237672
 981132762769292263026497188338176053214945574200672522958533314
 853910089991786419860426749939881366048097033798142016583981635
 868839650117750531961198140115560005774430747665755015411439081
 171555847636470237835832434206342703231894919620051790348680611
 951025695568718876810552948975518603437257878792531397558556363
 286191290381022120413334946086618011465815411924496281 ,
 159086441284130310236470747745260879089970428458657091191791639
 548677286270132182430968578959769875448801782705218203759564711
 925049887476791765543490329883939395355337954010326447962294648
 748039028602920816054809648487665095596994378252466677409208418
 566740102340587636987556061072744025609143412419037032435547775
 925604523497861253881851602290845710701766770956970368993137914
 343887162140739832730980977171305768058809800973196333802175043
 905675671094231878775574676649524882525600210722746297047467025
 125737934976421887524244773663992896895926563459381167003442285
 24117256381484077051531124802966817528758672971865143)

(18229249207894241071152470062568689310171501954882944639580318
470455749701376330254867887014370481525366691080773571043859675
086934343925875920504249943663228484987828434900620823882326734
456589063109367754009803214369186161258146842575038783220237672
981132762769292263026497188338176053214945574200672522958533314
853910089991786419860426749939881366048097033798142016583981635
868839650117750531961198140115560005774430747665755015411439081
171555847636470237835832434206342703231894919620051790348680611
951025695568718876810552948975518603437257878792531397558556363
286191290381022120413334946086618011465815411924496281 ,
155097331714254535333499529600204875357091469700239663197714733
969210208843798380551815714059678975834317224257265602838453801
631959579905758949378257439194697888997498789079775382702118277
117299650805150191709502202403857135190428720922998568639204665
321056660356744092888229620669510780068415333924533087135469207
034506811070251501162611341275463638254147689633160480939696824
443686469813949401760668763445646149971193443213401443903975979
757570743770842089027062673576826424043639283378775164807417061
498651102175735313361497188885326671711655702891273717478527802
52527060737369811536287636598440630347119862869400018)

(18229249207894241071152470062568689310171501954882944639580318
470455749701376330254867887014370481525366691080773571043859675
086934343925875920504249943663228484987828434900620823882326734
456589063109367754009803214369186161258146842575038783220237672
981132762769292263026497188338176053214945574200672522958533314
853910089991786419860426749939881366048097033798142016583981635
868839650117750531961198140115560005774430747665755015411439081
171555847636470237835832434206342703231894919620051790348680611
951025695568718876810552948975518603437257878792531397558556363
286191290381022120413334946086618011465815411924496281 ,
155097331714254535333499529600204875357091469700239663197714733
969210208843798380551815714059678975834317224257265602838453801
631959579905758949378257439194697888997498789079775382702118277
117299650805150191709502202403857135190428720922998568639204665
321056660356744092888229620669510780068415333924533087135469207
034506811070251501162611341275463638254147689633160480939696824
443686469813949401760668763445646149971193443213401443903975979
757570743770842089027062673576826424043639283378775164807417061
498651102175735313361497188885326671711655702891273717478527802
52527060737369811536287636598440630347119862869400018)

(18229249207894241071152470062568689310171501954882944639580318
 470455749701376330254867887014370481525366691080773571043859675
 086934343925875920504249943663228484987828434900620823882326734
 456589063109367754009803214369186161258146842575038783220237672
 981132762769292263026497188338176053214945574200672522958533314
 853910089991786419860426749939881366048097033798142016583981635
 868839650117750531961198140115560005774430747665755015411439081
 171555847636470237835832434206342703231894919620051790348680611
 951025695568718876810552948975518603437257878792531397558556363
 286191290381022120413334946086618011465815411924496281 ,
 117280447718918121402335953565002718265606015141614102015864894
 902607275090830578155721167016126447685144011537196866268712103
 814028727208367342652849193927857055091064829441492956471236116
 038864908944313286721996163751790398105660295447427814222659294
 697163557679089445108878696014892580101495209453599070045988632
 522129205275713659477788668016740147868932497389537403289424084
 002469981197919875222953995027726270713145462731783200225382790
 686994171172199038277016218762593311257149954117065907286030993
 700948753411053038646338236401773550873567170705072415990696387
 29001963682132046401175899218455297077683455417104640)

Le décryptage de ces couples donne le mot hello.

II.4 Protocole de signature numérique El Gamal

Ce protocole n'est pas déterministe, pour un message donné on peut avoir beaucoup de signatures valides. Prenons A comme expéditeur et B comme le récepteur du message. A possède la paire de clés (X_A, Y_A) , X_A est la clé privée de A et X_A n'est pas diviseur de $P-1$. $Y_A = g^{X_A} \text{ mod } p$. B possède la paire de clés (X_B, Y_B) , X_B est la clé privée de B et X_B n'est pas diviseur de $P-1$. $Y_B = g^{X_B} \text{ mod } p$. Les paramètres publics sont p , g et Y_A .

P est un nombre premier dont le logarithme discret est difficile à résoudre.

G est un générateur

La signature de A sur le message m est représentée par le couple (r, s) .

$$r = g^x \text{ mod } p$$

$$s = [(m - X_A * r) / x] \text{ mod } (p-1).$$

X est choisi aléatoirement dans Z_P chaque fois qu'un message doit être signé par A. X doit être différent de $p-1$.

Pour (m,r,s) , B peut vérifier que (r,s) est la signature de A sur le message m en vérifiant l'égalité $g^m = Y_A^{r*s} \text{ mod } p$.

Exemple d'illustration

$P=547$

$g=9$

$X_A=23$

Y_A trouvé est 81

$R=304$

$m=100$

$S=172$

$g^m = 81$

$x=125$

$Y_A^{r*s} \text{ mod } p = 81$

La signature est validée.

II.5. Cryptographie quantique

II.5. 1. Généralités

Cette technique utilise la polarisation des photons de la lumière. La polarisation d'un photon consiste à donner l'orientation ou la direction du photon. La polarisation des photons est mesurée par un angle variant entre 0° et 180° . En cryptographie quantique quatre types de polarisation qui sont utilisées sont :

- La polarisation horizontale correspondant à l'angle de 0°
- La polarisation verticale correspondant à l'angle de 90°
- La polarisation diagonale droite correspondant à l'angle de 45°
- La polarisation diagonale gauche correspondant à l'angle de 135°

La lumière n'est pas polarisée à l'état naturel, elle est composée par plusieurs photons qui ont des directions variées.

En effet, la lumière étant composée de plusieurs photons, chacun de ces photons ayant sa propre direction, le polariseur horizontal arrête tous les

photons qui n'ont pas une polarisation horizontale et laisse passer ceux qui ont la polarisation horizontale. A la sortie du filtre, les photons obtenus sont seulement ceux polarisés horizontalement. Le même principe est appliqué pour obtenir des photons polarisés dans chacune des autres directions. Par convention un 1 est représenté par un photon polarisé à 90° ou 135° et 0 est représenté par un photon polarisé à 0° ou 45° .

II.5. 2. Mécanisme de mesure de la polarisation d'un photon

Ayant deux bases, celles permettant les polarisations horizontales ou verticales et la base permettant les polarisations diagonales gauches ou les polarisations diagonales droites, la première étape est le choix de la base à utiliser. Deuxièmement on utilise un filtre pour aiguiller l'une des directions parmi les 2 directions de la base. Pour la base utilisant les angles 0° et 90° , le filtre horizontal peut être utilisé. Dans ce cas, l'une de deux possibilités est observée à la sortie du filtre.

-Le photon est passé à travers le filtre, dans ce cas le photon est polarisé horizontalement.

- Le photon n'est pas passé à travers le filtre, dans ce cas le photon n'est pas polarisé horizontalement.

II.5. 3. Echange des clés

Si deux personnes Alice et Bob veulent générer une clé. Les photons polarisés sont mesurés à l'aide de l'une de deux bases pour chacun des bits qui sont envoyés par Alice à Bob via la fibre optique. Bob ne connaît pas la base et l'orientation utilisée par Alice pour chaque photon. Les photons émis par Alice sont reçus par Bob et sont mesurés en utilisant aléatoirement une de deux bases. Bob informe Alice les Bases utilisées pour chaque photon via un canal public et ils comparent le résultat. Seuls les photons pour lesquels les mêmes bases ont été appliquées sont retenus comme une clé. Pour le cas où ils n'ont pas utilisées la même base, les photons ne sont pas considérés. La sécurité de ce type d'échange des clés découle du théorème du non-clonage et du principe d'incertitude de Heisenberg qui nous montre qu'un espion ne peut ni copier ni voir les photons envoyés par Alice à Bob sans que Alice et Bob le constatent.

théorème : pour un état quantique inconnu quelconque, il n'est pas possible de faire une copie parfaite de cet état (sans détruire l'état initial) : théorème de non-clonage :[2 .2]

le principe d'incertitude montre qu'il est impossible d'attribuer à un corpuscule, à un instant donné, par exemple une position et une quantité de mouvement parfaitement déterminées. il est impossible de mesurer simultanément, avec une précision absolue, la position p et la vitesse q d'une particule dans le domaine de l'atome, car la mesure perturbe le système : le principe d'incertitude de heisenberg . [2.3]

. En effet, il faut utiliser des ondes très courtes afin de saisir la position de la particule. Or ces ondes sont, par exemple, des photons qui communiquent une énergie à la particule et change du même coup sa position.

Les spécificités de l'information quantique précise qu'une information quantique : on ne peut pas les copier ; avec les Superpositions d'états autorisées la mesure affecte l'état quantique [2]

Etant donné que les photons polarisés sont aléatoires, ce type d'échange est adapté à l'échange des clés mais pas pour l'échange de message puisque les photons polarisés sont générés aléatoirement alors qu'un message n'est pas aléatoire. Mais aussi une autre personne peut intercepter les photons. Si l'interception de la clé échangée a eu lieu, elle devrait être remarquée par les deux parties qui échangent la clé. La clé est alors rejetée et ils procèdent de nouveau à générer une autre clé. Si c'était un message qui est échangée, il aurait déjà perdu la confidentialité s'il est intercepté.

Le tableau 1 montre l'échange de la clé entre Alice et Bob en cryptographie quantique lorsqu'il y a présence de l'espion. Les lignes du tableau contiennent les bases utilisées tandis que les colonnes montrent les interlocuteurs qui échangent la clé. . Le tableau 2 montre l'échange de la clé en utilisant la cryptographie quantique entre Alice et Bob sans présence de l'espion. Les lignes du tableau contiennent les bases utilisées tandis que les colonnes montrent les interlocuteurs qui échangent la clé.

Tableau 1 Echange de clé sans espion




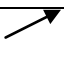
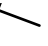

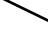




































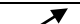








Aline			Bob			Alice et Bob
Base choisie	Symboles envoyés	Etat envoyé	Base choisie	Etat utilisé	Symbole mesuré	Clé secrète
x	0		+		1	
					0	
			x		0	0
					1	
+	1		x		1	
					0	
			+		0	
				 	1	1
x	0		+	 	1	
					0	
			x		0	0
					1	
+	1		x		0	
					1	1
			+		0	
					1	
x	1		+		0	
					1	
			x		0	
					1	1

Tableau 2 Echange de la clé avec présence de l'espion

Aline			Bob			Alice et Bob
Base choisie	Symboles envoyés	Etat envoyé	Base choisie	Etat utilisé	Symbole mesuré	Clé secrète
x	0		+		1	
					0	
			x		0	0
					1	
+	1		x		1	
					0	
			+		0	
				 	1	1
x	0		+		1	
					0	
			x		0	0
					1	
+	1		x		0	
					1	1
			+		0	
					1	
x	1		+		0	
					1	
			x		0	
					0	

II.6 .Cryptographie basée sur les courbes elliptiques.

II.6 .1.Généralités

Les courbes elliptiques ne sont pas des ellipses. Ils sont ainsi nommés car ils sont décrits par des équations cubiques, similaires à celles utilisées pour calculer la circonférence d'une ellipse. Les courbes elliptiques jouent un grand rôle en cryptographie. Du point de vue de l'échange de clé, la clé est échangée de manière secrète. En général, les équations cubiques pour les courbes elliptiques prennent la forme $y^2+axy+by=x^3+cx^2+dx+e$ où a, b, c, d et e sont des nombres réels et x et y prennent des valeurs dans les nombres réels. La définition d'une courbe elliptique comprend également un seul élément noté O appelé le point à l'infini ou le point zéro. Deux familles de courbes elliptiques sont utilisées en cryptographie: courbes elliptiques sur Z_p et courbes binaires sur $GF(2^m)$.

L'équation est limitée à l'équation de la forme $y^2 = x^3 + ax + b$ pour des courbes elliptiques sur Z_p . Pour les courbes elliptiques qui sont définies dans le corps binaire, l'équation est réduite à $y^2+xy=x^3+ax^2+b$

II.6 .2. Courbes elliptiques dans un corps binaire

Pour les courbes elliptiques qui sont définies dans un corps binaire, l'équation est réduite à $y^2+xy=x^3+ax^2+b$. les variables et les coefficients, éléments de $GF(2^m)$ et les calculs sont effectués en $GF(2^n)$.

Les opérations arithmétiques peuvent être effectuées dans la représentation binaire ou polynômiale .Pour la représentation polynômiale ; les opérations arithmétiques sont effectuées suivant les règles ordinaires de l'arithmétique polynômiale en utilisant les règles de base de l'algèbre, avec les deux améliorations suivantes :

- L'addition et la soustraction des coefficients sont effectuées modulo 2 :

$$1+1=1-1=0; 1+0=1-0=1; 0+1=0-1=1$$

- Si la multiplication résulte en un polynôme de degré supérieur à $n-1$, le polynôme est réduit modulo certains polynômes irréductibles $m(x)$ de degré n . C'est-à-dire qu'on divise par $m(x)$ et garde le reste. Pour un polynôme $f(x)$, le reste est exprimé comme $r(x) = f(x) \bmod m(x)$.

Pour la représentation binaire, l'addition est effectuée en utilisant une opération logique XOR.

Exemple :

$$\text{Soient } f(x)=x^6+x^4+x^2+x+1, g(x)=x^7+x+1 \text{ et } m(x)=x^8+x^4+x^3+x+1$$

$$f(x)*g(x)=[f(x)*g(x)] \bmod m(x)=x^7+x^6+1$$

La multiplication en utilisant la représentation binaire peut être définie comme suit : *Considérons un polynôme dans $GF(2^8)$, qui a la forme $f(x) = b_7x^7 + b_6x^6 + b_5x^5 + b_4x^4 + b_3x^3 + b_2x^2 + b_1x + b_0$. Si on multiplie $f(x)$ par x , on a $x * f(x) = (b_7x^8 + b_6x^7 + b_5x^6 + b_4x^5 + b_3x^4 + b_2x^3 + b_1x^2 + b_0x) \text{ mod } m(x)$. Le résultat dépend du fait que le bit b_7 soit 0 ou 1. Si le bit b_7 de $f(x)$ est égal à 0, on ne fait rien. Dans ce cas, le résultat est $b_6b_5b_4b_3b_2b_1b_00$. Si b_7 est égal à 1, nous devons diviser le polynôme que nous avons pour $f(x) * x$ par le polynôme de module $m(x)$ et ne garder que le reste. Dans ce cas $f(x) * x \text{ mod } m(x)$ peut être écrite.*

$$(b_6x^7 + b_5x^6 + b_4x^5 + b_3x^4 + b_2x^3 + b_1x^2 + b_0x) + (x^8 \text{ mod } m(x)).$$

$$=(b_6x^7 + b_5x^6 + b_4x^5 + b_3x^4 + b_2x^3 + b_1x^2 + b_0x) + (x^4 + x^3 + x + 1).$$

$$b_6b_5b_4b_3b_2b_1b_00 \oplus 00011011.$$

La multiplication est appliquée de façon suivante :

-Si on veut multiplier B_1 et B_2 , chacun ayant une longueur de 8 bits.

-Si B_2 est 00000001, alors $B_1 * B_2 = B_1$. Le résultat est B_1 lui-même.

-Si B_2 est 00000010, alors nous multiplions B_1 par X , la réponse dépend de la valeur b_7 , si b_7 est 0 le résultat est obtenu en faisant le décalage gauche d'un bit de B_1 . Si b_7 est 1, on fait d'abord le décalage gauche d'un bit de B_1 puis on fait le XOR du résultat obtenu avec 00011011.

Alors $f(x) * g(x) \text{ mod } m(x)$ peut être résolu en binaire et aboutir au même résultat.

$$f(x) = x^6 + x^4 + x^2 + x + 1 \text{ correspond } 01010111$$

$$g(x) = x^7 + x + 1 \text{ correspond } 10000011$$

$$(01010111) * (10000011) = (01010111) * ($$

00000001 + 00000010 + 10000000) Tout d'abord, nous déterminons les résultats de la multiplication par des puissances de x .

$$01010111 * 00000001 = 01010111$$

$$01010111 * 00000010 = 10101110$$

$$01010111 * 00000100 = 01011100 \oplus 00011011 = 01000111$$

$$01010111 * 00001000 = 10001110$$

$$01010111 * 00010000 = 00011100 \oplus 00011011 = 00000111$$

$$01010111 * 00100000 = 00001110$$

$$01010111 * 01000000 = 00011100$$

$$01010111 * 10000000 = 00111000$$

$$(01010111) * (10000011) = (01010111) * (00000001 + 00000010 + 10000000)$$

$$= (01010111) * (00000001 + 00000010 + 10000000)$$

$$(01010111) * (00000001 + 00000010 + 10000000)$$

$$= 01010111 * 00000001 + 01010111 * 00000010 + 01010111 * 10000000$$

$$= 01010111 + 10101110 + 00111000$$

$$= 01010111 \oplus 10101110 \oplus 00111000 = 11000001$$

$$= x^7 + x^6 + 1$$

II.6. 3. Addition de deux points dans GF(2ⁿ)

Les règles d'addition des points P et Q peuvent être énoncées comme suit :

$$1. P + O = P$$

$$2. Si P = (x_p, y_p), alors P + (x_p, x_p + y_p) = O.$$

3. Si P = (x_p, y_p) et Q = (x_q, y_q) avec P ≠ Q, alors R = P + Q = P = (x_R, y_R) est déterminé par les règles suivantes:

$$X_R = \lambda^2 + \lambda + X_p + X_q + a$$

$$Y_R = \lambda(X_p + X_R) + X_R + Y_p \quad \text{avec } \lambda = (Y_q + Y_p) / (X_q + X_p)$$

4. Si P = (x_p, y_p), alors R = 2P = (x_R, y_R) est déterminé par les règles suivantes:

$$X_R = \lambda^2 + \lambda + a$$

$$Y_R = X_p^2 + (\lambda + 1)X_R$$

$$\text{avec } \lambda = X_p + X_p / Y_p$$

II.6. 4. Addition de deux points de la courbe dans Z_p

Pour les courbes elliptiques sur Z_p, une équation cubique est utilisée dans laquelle les variables et les coefficients prennent des valeurs dans l'ensemble des nombres entiers de 0 à p-1 et dans lequel les calculs sont effectués mod p.

L'équation est décrite de la façon suivante : $y^2 \pmod p = (x^3 + ax + b) \pmod p$.

Dans ce point, sont décrites les propriétés permettant de calculer des additions sur des courbes elliptiques. Pour deux points P = (x_P, y_P) et Q = (x_Q, y_Q) qui ne sont pas négatifs l'un de l'autre. La somme R = P + Q peut être exprimée comme suit :

1^{er} cas : si p ≠ q

$$\beta = (y_p - y_q) / (x_p - x_q)$$

$$x_r = \beta^2 - x_p - x_q$$
$$y_r = -y_p + \beta (x_p - x_r)$$

[3]

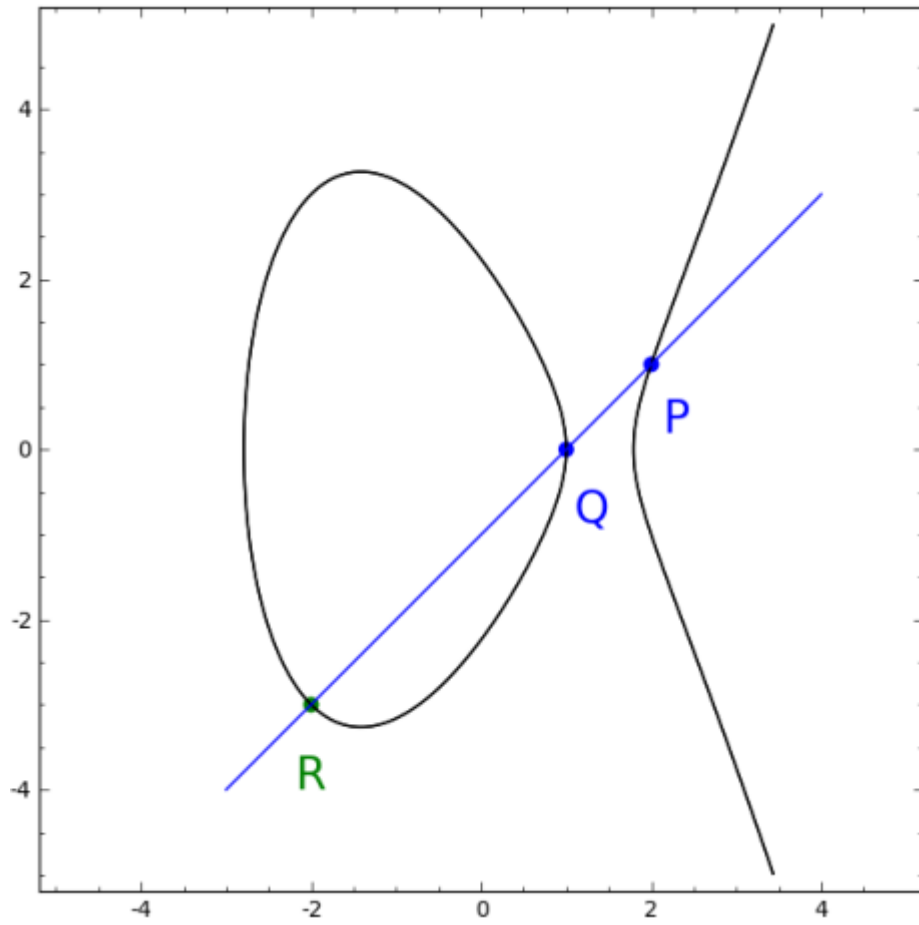


Figure 1 Addition de 2 points distincts

2eme cas : le doublement d'un point p.

$\beta = (3x_p^2 + a)/2y_p$, pour $y_p \neq 0$ et a est l'un des paramètres choisis avec la courbe elliptique .

$$x_r = \beta^2 - 2x_p$$

$$y_r = -y_p + \beta(x_p - x_r),$$

[4]

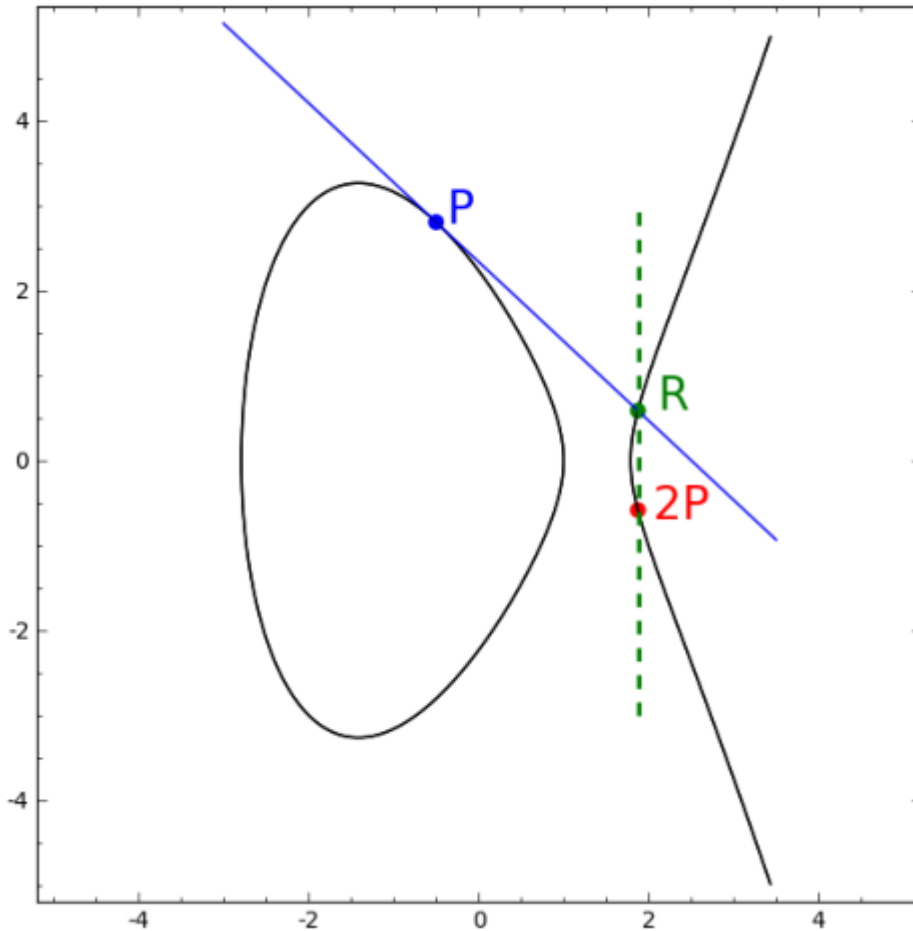


Figure 2 Doublement D'un point

$p-p=0$, correspond à $(x_1, y_1) + (x_1, -y_1) = 0$, le point $(x_1, -y_1)$ est appelé le négatif de p.

II.6.5. Théorème de Hasse

Soit p un nombre premier et $q = p^k$. Soit E une courbe elliptique définie par $E : y^2 = x^3 + ax + b$, avec $a, b \in \mathbb{F}_q$.

Alors le nombre $\#E(\mathbb{F}_q)$ de points de $E(\mathbb{F}_q)$ vérifie $|\#E(\mathbb{F}_q) - (q + 1)| < 2\sqrt{q}$.

Soit E définie sur $(\mathbb{Z}/13\mathbb{Z})$ par $E : y^2 = x^3 - 5x + 8$.

Alors $\#E(\mathbb{F}_{13}) = 20$ et on a bien $|\#E(\mathbb{F}_{13}) - (13 + 1)| = |20 - 14| = 6 < 2\sqrt{13}$.

[5]

II.6 .6. Echange de clé basée sur les courbes elliptiques

L'échange des clés à l'aide des courbes elliptiques peut être réalisé de la manière suivante : Choisissez d'abord un grand nombre entier q , qui est soit un nombre premier p soit un entier de la forme 2^n et les paramètres de la courbe elliptique a et b . Ceci définit le groupe de points elliptiques $E_q(a,b)$. Ensuite, choisissez une base, un point $G = (x_1, y_1)$ dans $E_q(a, b)$ dont l'ordre est une très grande valeur n . L'ordre n d'un point G sur une courbe elliptique est le plus petit entier positif n tel que $nG = O$. $E_q(a,b)$ et G sont des paramètres connus par tous les deux interlocuteurs qui échangent la clé.

Un échange de clé entre les participants A et B peut être accompli comme suit :

1. A sélectionne un entier n_A inférieur à n . C'est la clé privée de A . A génère alors une clé publique $P_A = n_A * G$; la clé publique est un point dans $E_q(a, b)$.
2. De même, B sélectionne une clé privée n_B et calcule une clé publique P_B
3. A génère la clé secrète $K = n_A * P_B$. B génère la clé secrète $K = n_B * P_A$.

Les éléments publics sont :

$E_q(a, b)$: La courbe elliptique avec les paramètres a, b et q , où q est soit un nombre premier p soit un entier de la forme 2^n .

G : est un point sur la courbe elliptique dont l'ordre est une très grande valeur n .

La génération de la clé par l'utilisateur A :

A sélectionne un entier n_A avec $n_A < n$.

A calcule la valeur publique $P_A = n_A * G$.

Calcul de la clé secrète par l'utilisateur A ; $K = n_A * P_B$.

La génération de la clé par l'utilisateur B :

B sélectionne un entier n_B avec $n_B < n$.

B calcule la valeur publique $P_B = n_B * G$.

Calcul de la clé secrète par l'utilisateur B ; $K = n_B * P_A$.

Les deux calculs produisent le même résultat car $n_A * P_B = n_A (n_B * G) = n_B (n_A * G) = n_B * P_A$.

Exemple d'illustration :

Soit la courbe elliptique $E_p(0, -4) : y^2 = x^3 - 4, p = 211$.

$G = (2, 2)$ et $240G = O, n = 240$.

$n_A = 231$

$n_B = 173$

$P_A = 231(2, 2) = (75, 121)$

$P_B = 173(2, 2) = (55, 37)$

La clé secrète K générée est $173(75,121)=231(55,37)=(124,92)$

II.6 .7. Algorithme de cryptage et de décryptage

Pour chiffrer et envoyer un message P_m à B, A choisit un entier positif aléatoire k et produit le chiffré C_m composé de la paire des points:

$$C_m=(kG, P_m +kP_B).$$

G doit être choisi parmi les points de la courbe elliptique.

Pour $E_{211}(2,3)$ les points de cette courbe sont :

(1,46)(1,165)(3,6)(3,205)(6,81)(6,130)(8,98)(8,113)(9,31)(9,180)(10,50)
 (10,161)(16,79)(16,132)(19,88)(19,123)(20,5)(20,206)(23,20)(23,191)(25,8)
 (25,203)(27,31)(27,180)(29,94)(29,117)(30,104)(30,107)(31,59)(31,152)(33,6
 6)(33,145)(36,10)(36,201)(39,98)(39,113)(40,19)(40,192)(41,3)(41,208)(42,89
)
 (42,122)(43,7)(43,204)(45,53)(45,158)(51,44)(51,167)(52,20)(52,191)(53,81)
 (53,130)(54,13)(54,198)(55,3)(55,208)(56,50)(56,161)(57,91)(57,120)(58,30)
 (58,181)(60,103)(60,108)(61,80)(61,131)(62,5)(62,206)(65,6)(65,205)(67,15)
 (67,196)(69,40)(69,171)(72,66)(72,145)(73,90)(73,121)(74,39)(74,172)(78,52)
 (78,159)(79,84)(79,127)(80,53)(80,158)(84,78)(84,133)(86,53)(86,158)(88,11)
 (88,200)(89,58)(89,153)(90,38)(90,173)(91,8)(91,203)(95,8)(95,203)(96,29)
 (96,182)(97,57)(97,154)(98,72)(98,139)(101,68)(101,143)(105,9)(105,202)
 (106,66)(106,145)(107,48)(107,163)(110,92)(110,119)(111,24)(111,187)(115,
 3)(115,208)(119,96)(119,115)(123,27)(123,184)(125,28)(125,183)(128,55)
 (128,156)(129,5)(129,206)(130,72)(130,139)(131,28)(131,183)(133,16)
 (133,195)(136,20)(136,191)(137,54)(137,157)(139,9)(139,202)(143,6)(143,20
 5)
 (144,25)(144,186)(145,50)(145,161)(147,2)(147,209)(148,42)(148,169)(152,8
 1)
 (152,130)(153,43)(153,168)(156,29)(156,182)(160,32)(160,179)(164,98)
 (164,113)(166,28)(166,183)(169,37)(169,174)(170,29)(170,182)(173,45)
 (173,166)(175,31)(175,180)(178,9)(178,202)(179,64)(179,147)(183,19)
 (183,192)(184,10)(184,201)(185,47)(185,164)(192,51)(192,160)(193,26)
 (193,185)(194,72)(194,139)(195,99)(195,112)(196,94)(196,117)(197,94)
 (197,117)(198,34)(198,177)(199,19)(199,192)(202,10)(202,201)(206,76)
 (206,135)(210,0) , avec le point à l'infini.

Pour $E_{751}(-1,188)$ les points de cette courbe sont :

(0,375)(0,376)(1,375)(1,376)(2,373)(2,378)(3,211)(3,540)(5,225)(5,526)(6,361
)(6,390)(7,240)(7,511)(12,235)(12,516)(13,129)(13,622)(17,332)(17,419)
 (18,137)(18,614)(19,138)(19,613)(21,133)(21,618)(24,65)(24,686)(26,312)
 (26,439)(28,302)(28,449)(30,236)(30,515)(32,300)(32,451)(34,118)(34,633)

(36,336)(36,415)(38,256)(38,495)(39,349)(39,402)(41,274)(41,477)(43,322)
 (43,429)(44,312)(44,439)(45,97)(45,654)(47,335)(47,416)(50,136)(50,615)
 (52,346)(52,405)(54,131)(54,620)(57,332)(57,419)(59,325)(59,426)(62,161)
 (62,590)(63,62)(63,689)(64,13)(64,738)(66,214)(66,537)(67,22)(67,729)(69,2
 1)(69,730)(72,285)(72,466)(74,199)(74,552)(77,6)(77,745)(79,333)(79,418)
 (84,138)(84,613)(86,184)(86,567)(92,145)(92,606)(93,120)(93,631)(94,73)(94
 ,678)(97,284)(97,467)(101,4)(101,747)(102,120)(102,631)(103,180)(103,571)(
 121,39)(121,712)(124,354)(124,397)(126,275)(126,476)(128,252)(128,499)(1
 31,34)(131,717)(135,198)(135,553)(139,338)(139,413)(144,190)(144,561)(14
 7,175)(147,576)(152,337)(152,414)(153,315)(153,436)(154,176)(154,575)(15
 5,193)(155,558)(157,55)(157,696)(158,29)(158,722)(159,124)(159,627)(160,1
 40)(160,611)(161,1)(161,750)(169,132)(169,619)(170,274)(170,477)(172,255)
 (172,496)(173,33)(173,718)(174,240)(174,511)(177,164)(177,587)(178,232)(1
 78,519)(179,257)(179,494)(180,343)(180,408)(182,84)(182,667)(187,50)(187,
 701)(188,94)(188,657)(189,23)(189,728)(190,196)(190,555)(191,29)(191,722)
 (192,359)(192,392)(195,57)(195,694)(196,113)(196,638)(197,107)(197,644)(1
 98,322)(198,429)(200,220)(200,531)(201,5)(201,746)(202,13)(202,738)(203,1
 69)(203,582)(204,363)(204,388)(205,161)(205,590)(207,215)(207,536)(209,1
 98)(209,553)(210,97)(210,654)(211,20)(211,731)(212,250)(212,501)(214,76)(
 214,675)(217,247)(217,504)(219,38)(219,713)(224,248)(224,503)(225,117)(2
 25,634)(227,74)(227,677)(229,115)(229,636)(231,176)(231,575)(232,50)(232,
 701)(233,256)(233,495)(234,188)(234,563)(237,23)(237,728)(238,55)(238,69
 6)(239,374)(239,377)(241,230)(241,521)(243,336)(243,415)(245,242)(245,50
 9)(246,53)(246,698)(248,236)(248,515)(251,56)(251,695)(253,108)(253,643)(
 254,247)(254,504)(256,342)(256,409)(257,149)(257,602)(258,276)(258,475)(
 261,288)(261,463)(262,208)(262,543)(263,354)(263,397)(264,337)(264,414)(
 265,76)(265,675)(266,244)(266,507)(267,352)(267,399)(268,229)(268,522)(2
 69,224)(269,527)(270,162)(270,589)(272,76)(272,675)(274,329)(274,422)(27
 8,241)(278,510)(279,83)(279,668)(280,247)(280,504)(283,54)(283,697)(285,9
 6)(285,655)(291,16)(291,735)(295,110)(295,641)(296,245)(296,506)(297,182)
 (297,569)(299,183)(299,568)(301,258)(301,493)(302,291)(302,460)(304,165)(
 304,586)(305,268)(305,483)(310,31)(310,720)(311,111)(311,640)(312,95)(31
 2,656)(314,36)(314,715)(317,181)(317,570)(318,79)(318,672)(320,174)(320,5
 77)(324,7)(324,744)(325,23)(325,728)(329,369)(329,382)(331,367)(331,384)(
 332,50)(332,701)(333,316)(333,435)(335,337)(335,414)(337,178)(337,573)(3
 39,353)(339,398)(341,362)(341,389)(343,205)(343,546)(348,228)(348,523)(3
 52,65)(352,686)(354,153)(354,598)(356,55)(356,696)(358,200)(358,551)(359,
 296)(359,455)(361,8)(361,743)(364,354)(364,397)(366,176)(366,575)(367,12
 2)(367,629)(370,11)(370,740)(372,37)(372,714)(373,9)(373,742)(375,65)(375,
 686)(378,172)(378,579)(380,155)(380,596)(381,69)(381,682)(384,306)(384,4
 45)(385,328)(385,423)(386,72)(386,679)(387,59)(387,692)(389,146)(389,605)
 (391,187)(391,564)(392,341)(392,410)(393,41)(393,710)(394,324)(394,427)(3
 95,141)(395,610)(398,326)(398,425)(400,238)(400,513)(401,153)(401,598)(4

02,29)(402,722)(403,218)(403,533)(405,92)(405,659)(406,194)(406,557)(407,198)(407,553)(409,281)(409,470)(412,191)(412,560)(414,88)(414,663)(416,371)(416,380)(417,158)(417,593)(421,362)(421,389)(423,135)(423,616)(426,201)(426,550)(430,102)(430,649)(432,310)(432,441)(440,294)(440,457)(446,219)(446,532)(447,303)(447,448)(452,278)(452,473)(454,280)(454,471)(461,92)(461,659)(465,181)(465,570)(466,143)(466,608)(467,249)(467,502)(470,310)(470,441)(472,336)(472,415)(473,236)(473,515)(479,355)(479,396)(480,256)(480,495)(484,161)(484,590)(485,13)(485,738)(486,355)(486,396)(487,371)(487,380)(488,59)(488,692)(490,207)(490,544)(492,167)(492,584)(493,48)(493,703)(495,356)(495,395)(496,97)(496,654)(500,368)(500,383)(501,155)(501,596)(503,241)(503,510)(508,83)(508,668)(510,322)(510,429)(512,298)(512,453)(513,141)(513,610)(514,201)(514,550)(520,328)(520,423)(522,282)(522,469)(529,254)(529,497)(531,194)(531,557)(532,44)(532,707)(533,74)(533,677)(537,355)(537,396)(538,77)(538,674)(540,274)(540,477)(543,61)(543,690)(545,370)(545,381)(546,352)(546,399)(547,299)(547,452)(549,244)(549,507)(551,231)(551,520)(553,230)(553,521)(555,307)(555,444)(556,120)(556,631)(562,201)(562,550)(565,194)(565,557)(566,344)(566,407)(570,240)(570,511)(575,329)(575,422)(578,99)(578,652)(579,286)(579,465)(581,20)(581,731)(582,15)(582,736)(583,177)(583,574)(584,271)(584,480)(585,108)(585,643)(586,162)(586,589)(589,79)(589,672)(591,104)(591,647)(592,91)(592,660)(594,141)(594,610)(595,79)(595,672)(597,328)(597,423)(599,371)(599,380)(600,310)(600,441)(603,164)(603,587)(604,210)(604,541)(605,297)(605,454)(607,18)(607,733)(609,125)(609,626)(612,163)(612,588)(617,149)(617,602)(620,106)(620,645)(621,155)(621,596)(622,242)(622,509)(623,47)(623,704)(624,295)(624,456)(627,59)(627,692)(628,149)(628,602)(629,206)(629,545)(632,80)(632,671)(634,94)(634,657)(635,242)(635,509)(636,92)(636,659)(637,301)(637,450)(639,343)(639,408)(646,162)(646,589)(648,138)(648,613)(649,57)(649,694)(650,58)(650,693)(653,329)(653,422)(654,263)(654,488)(657,156)(657,595)(658,57)(658,694)(660,257)(660,494)(661,179)(661,572)(663,257)(663,494)(664,108)(664,643)(666,85)(666,666)(667,180)(667,571)(671,193)(671,558)(672,212)(672,539)(676,193)(676,558)(677,332)(677,419)(678,42)(678,709)(680,94)(680,657)(681,312)(681,439)(683,343)(683,408)(684,119)(684,632)(686,358)(686,393)(687,244)(687,507)(688,327)(688,424)(689,352)(689,399)(693,70)(693,681)(694,199)(694,552)(695,170)(695,581)(696,90)(696,661)(697,279)(697,472)(701,203)(701,548)(704,186)(704,565)(705,112)(705,639)(708,230)(708,521)(710,20)(710,731)(712,100)(712,651)(714,173)(714,578)(715,83)(715,668)(717,150)(717,601)(720,181)(720,570)(721,241)(721,510)(722,164)(722,587)(723,304)(723,447)(729,78)(729,673)(731,222)(731,529)(732,180)(732,571)(733,265)(733,486)(734,199)(734,552)(735,46)(735,705)(740,362)(740,389)(742,74)(742,677)(743,154)(743,597)(745,27)(745,724)(747,153)(747,598)(750,375)(750,376) avec le point à l'infini.

Prenons le point $(0,376)$ comme un générateur G . prenons le point P_m à crypter est $(443,253)$. pour crypter ce point l'interlocuteur A utilise la clé publique de l'interlocuteur B. B ayant choisi $n_B=85$

$P_B=n_B G=85(0,376)=(671,558)$. L'interlocuteur A choisit $k=113$.

Pour crypter le point p_m , il calcule

$$\begin{aligned} &= \llbracket (kG), (p_m + kP_B) \rrbracket = \llbracket 113*(0,376), (443,253) + 113*(671,558) \rrbracket \\ &= \llbracket (34,633), (443,253) + (47,416) \rrbracket \\ &= \llbracket (34,633), (217,606) \rrbracket \end{aligned}$$

Pour décrypter, on calcule $(P_m + kP_B) - \llbracket n_B(kG) \rrbracket$

$$\begin{aligned} (P_m + kP_B) - \llbracket n_B(kG) \rrbracket &= (217,606) - \llbracket 85(34,633) \rrbracket \\ &= (217,606) - \llbracket (47,416) \rrbracket \\ &= (217,606) + \llbracket (47,-416) \rrbracket \\ &= (217,606) + \llbracket (47,335) \rrbracket \\ &= (443,253) \end{aligned}$$

L'importance de cet algorithme est basée sur la difficulté de résoudre le problème du logarithme discret des courbes elliptiques. En effet, il est difficile de déterminer k à partir de kp et p .

II.6.8 Algorithme de signature numérique

Pour utiliser cet algorithme de signature numérique à clé publique utilisant les courbes elliptiques communément appelé ECDSA, les deux parties doivent se mettre d'accord sur un ensemble d'éléments qui définissent la courbe elliptique $(p, E_p(a,b), G, n)$. Chaque participant génère ses paramètres de domaine et les envoie avec sa clé publique.

Génération des clés:

Chaque entité A doit faire ce qui suit:

1. Sélectionnez une courbe elliptique E définie sur Z_p . Le nombre de points dans E (Z_p) doit être divisible par un grand nombre premier n .
2. Sélectionnez un point $P \in E(Z_p)$ d'ordre n .
3. Sélectionnez un entier d statistiquement unique et imprévisible dans l'intervalle $\llbracket 1, n-1 \rrbracket$
4. Calculez $Q = dP$.
5. Une clé publique est (E, P, n, Q) ; la clé privée de A est d .

génération de signature ECDSA:

Pour signer un message m , A doit procéder comme suit:

1. Sélectionnez un entier k aléatoire dans l'intervalle $\llbracket 1, n-1 \rrbracket$.
2. Calculez $kP = (x_1, y_1)$ et $r = x_1 \bmod n$. Si $r = 0$, retournez à l'étape 1.

3. Calculez $k^{-1} \bmod n$.
4. Calculer $s = k^{-1}(h(m) + dr) \bmod n$, où $h(m)$ est l'algorithme de hachage sécurisé.
5. Si $s = 0$, retournez à l'étape 1. (Si $s = 0$, alors $s^{-1} \bmod n$ n'existe pas; s^{-1} est utilisé à l'étape 3 de la vérification de la signature.)
6. La signature du message m est la paire d'entiers (r, s) .

• *Vérification de la signature ECDSA.*

Pour vérifier la signature (r, s) de A sur le message m , B doit procéder comme suit:

1. Obtenez une copie certifiée conforme de la clé publique (E, P, n, Q) de A .
2. Vérifiez que r et s sont des entiers dans l'intervalle $[1, n - 1]$.
3. Calculez $w = s^{-1} \bmod n$ et $h(m)$.
4. Calculez $u_1 = h(m) w \bmod n$ et $u_2 = r w \bmod n$.
5. Calculez $R = u_1 P + u_2 Q = (x_0, y_0)$ et $v = x_0 \bmod n$. Si $R = O$, renvoyez «invalid» et arrêtez.
6. Acceptez la signature si et seulement si $v = r$. Si $v \neq r$ retourne invalide.

Exemple d'illustration

$$E : y^2 = x^3 + 2x + 6 \bmod 7$$

La courbe elliptique E a 11 points, donc $n = 11, k = 6, m = \text{hello class}, h(m) = 1775530154$

$$P = (1, 3)$$

$$D = 4$$

$$Q = dP = (3, 5)$$

$$kP = (4, 6)$$

$$r = 4 \bmod 11 = 4$$

$$k^{-1} \bmod 11 = 2$$

$$s = k^{-1}(m + dr) \bmod 11 = 3$$

La signature est le couple $(4, 3)$

Vérification de la signature:

$$w = s^{-1} \bmod n = 3^{-1} \bmod 11 = 4$$

$$u_1 = m w \bmod n = 8$$

$$u_2 = r w \bmod n = 5$$

$$u_1 P = (5, 6)$$

$$u_2 Q = (2, 5)$$

$$R = u_1 P + u_2 Q = (x_0, y_0) = (4, 6)$$

$$v = x_0 \bmod n = 4 \bmod 11 = 4$$

$r = v$, la signature est validée

II.6 .9.Algorithmes résolvant le problème du logarithme discret

Avec la recherche exhaustive. on calcule $kP=Q$, pour k allant de 2 jusqu' à trouver la valeur recherchée de Q .

Exemple d'illustration.

Prenons l'exemple dans $E_{23}(9,17)$ qui a comme points :

(1,2)(1,21)(3,5)(3,18)(4,5)(4,18)(5,7)(5,16)(7,3)(7,20)(8,7)(8,16)(10,7)(10,16)(12,6)(12,17)(13,10)(13,13)(14,9)(14,14)(15,10)(15,13)(16,5)(16,18)(17,0)(18,10)(18,13)(19,3)(19,20)(20,3)(20,20) avec le point à l'infini.

Calculons le logarithme discret k de $Q=(3,18)$ à la base $P=(16,5)$

$P = (16, 5)$; $2P = (20, 20)$; $3P = (14, 14)$; $4P = (19, 20)$; $5P = (13, 10)$; $6P = (7, 3)$; $7P = (8, 7)$; $8P = (12, 17)$; $9P = (4, 5)$, $10P = (3, 18)$.

Comme $10P=(3,18)=Q$, le logarithme discret de $Q=(3,18)$ à la base $p=(16,5)$ est k qui est égale à 10.

Il est alors très difficile de résoudre un tel problème pendant un temps raisonnable pour les grands nombres premiers.

Avec la méthode de pas de bébé et pas de géant on procède comme suit :

Ayant un point p sur la courbe elliptique, et n étant l'ordre de la courbe elliptique. on calcule $m \geq \sqrt{n}$ tel que $p+1-2p^{1/2} \leq m \leq p+1+2p^{1/2}$ et

$mp=0$. L'algorithme de la méthode de pas de bébé et pas de géant est le

suivant : Q est un générateur d'ordre n et un point donné A . tel que $kQ=A$. On

construit deux listes ,la première liste contient jmQ pour chaque j , $0 \leq j \leq m-1$.

La 2^{ème} liste contient $-iQ+A$ pour chaque i , $0 \leq i \leq m-1$. On s'arrête si on trouve un même point dans les deux listes.

$$P=jmQ$$

$$P=-iQ+A$$

$$jmQ=-iQ+A$$

$(jm+i)Q=A$. Le multiple de Q tel $kQ=A$ est $k=jm+i$. A doit être un multiple de Q pour que cet algorithme fonctionne.

Exemple :soit la courbe elliptique $E_{23}(0,4)$ ou $y^2 \text{ mod } 23 = (x^3+4) \text{ mod } 23$, l'ordre de cette courbe est 29 , $m=6$, $Q=(0,2)$ est le générateur et le point $(18,9)$ à déterminer k tel que $kQ=(18,9)$. Dans le tableau 3 on détermine les valeurs de jmQ pour les valeurs de j .

Tableau 3 Pas de géant pour les courbes elliptiques

j	1	2	3	4	5
jmQ	(9,11)	(17,9)	(10,18)	(7,3)	

Dans le tableau 3 on détermine les valeurs de $iQ+A$ pour les valeurs de i .

Tableau 4 Pas de bébé les courbes elliptiques

i	1	2	3	4	5
$iQ+A$	(8,15)	(17,9)			

Comme l'élément (17,9) de la deuxième liste correspond à l'élément (17,9) de la première liste, (17,9) est considéré pour les deux listes. En appliquant les égalités suivantes, k est trouvé :

$$12Q = -2Q + A, 14Q = A, K = jm + i = 14$$

II.10. Conclusion

Les cryptosystèmes pour lesquels l'échange de clé est sécurisé sont les meilleurs cryptosystèmes puisque la clé est échangée de manière à éviter qu'une personne qui n'est pas concernée par la conversation ne connaisse pas la clé. Mais il faut obligatoirement contourner l'attaque dite l'homme du milieu en utilisant la signature numérique pour le cryptosystème de Diffie-Hellman, le cryptosystème El Gamal et le cryptosystème basé sur les courbes elliptiques.

Comme le cryptosystème de Diffie-Hellman permet de générer une clé qui est utilisée en cryptographie symétrique, dans notre projet nous avons choisi le cryptosystème de Diffie-Hellman pour utiliser la clé générée par ce cryptosystème dans des cryptosystèmes symétriques pour profiter de la rapidité de la cryptographie symétrique. On aurait choisi la cryptographie quantique mais les outils pour la mise en application de ce cryptosystème sont chers.

CHAPITRE III IMPLEMENTATION DU CRYPTOSYSTEME DE DIFFIE HELLMAN

III.1. Introduction

L'homme a toujours voulu cacher ce qu'il communique à des personnes qui ne sont pas destinées à avoir le message communiqué. Le cryptosystème Diffie Hellman ne consiste pas à chiffrer les données mais à générer la même clé cryptographique aux deux extrémités des interlocuteurs, de sorte qu'il n'est pas nécessaire de transférer cette clé à une autre personne qu'on veut communiquer les données en utilisant la cryptographie symétrique puisque la même clé est calculée aux deux extrémités de deux interlocuteurs. Il s'agit de s'entendre sur une clé que deux parties peuvent utiliser pour le cryptage symétrique, de telle manière qu'une autre personne en dehors de ces deux parties ne puisse pas obtenir la clé. L'importance du cryptosystème Diffie Hellman étant basée sur la difficulté de la résolution du problème du logarithme discret, un tel problème peut être résolu pour les petits nombres premiers. La signature numérique est indispensable pour garantir l'intégrité des données et l'authenticité et la non-répudiation de l'expéditeur des données.

III.2. But et fonctionnement de l'algorithme Diffie-Hellman

L'algorithme de Diffie-Hellman permet aux personnes de se mettre d'accord sur un secret commun en échangeant des messages publiquement qu'un espion ne peut pas intercepter. Les deux personnes qui veulent communiquer utilisent les nombres p , et g qui sont publics. Considérons l'échange des clés entre 2 personnes, l'une appelée A et l'autre appelée B. La personne A choisit un nombre privé a et envoie à B le résultat de $(g^a \bmod p)$. B choisit un nombre privé b et envoie à A le résultat de $(g^b \bmod p)$.

A calcule $Z_A = (g^b \bmod p)^a \bmod p = g^{ba} \bmod p$.

B calcule $Z_B = (g^a \bmod p)^b \bmod p = g^{ab} \bmod p$. $Z_A = Z_B$ est la clé privée pour les deux personnes.

La sécurité de l'algorithme Diffie-Hellman réside dans la difficulté de trouver ab ou ba comme exposant de g pour ensuite calculer $Z_A = Z_B$ qui est la clé privée pour les deux personnes. En d'autres termes c'est très difficile de trouver x tel que $\log_a b = x$ ou $a^x = b$, dans quelques groupes comme le groupe multiplicatif et surtout voire presque impossible pour des grands nombres premiers. Ce problème est appelé, le problème du logarithme discret.

III.3.Problème du logarithme discret

III.3.1. Problème du logarithme discret dans le group Z_p^*

Soit l'ensemble $Z_p^* = \{1,2,3,4,\dots,p-1\}$ où P est un nombre premier différent de 2. (Z_p^*, \cdot) est un group où toutes les propriétés pour qu'il soit group sont vérifiées. Soient $\beta, \alpha \in Z_p^*$, $\alpha \cdot \beta = (\alpha \beta \text{ mod } p)$

III.3.2. Quelques propriétés de Z_p^*

1. Si $\alpha, \beta \in Z_p^*$ alors $\alpha \cdot \beta \in Z_p^*$, elle est interne et partout définie dans Z_p^*

2. Si $\alpha, \beta, \lambda \in Z_p^*$ alors $(\alpha \cdot \beta) \cdot \lambda = \alpha \cdot (\beta \cdot \lambda)$ elle est associative

3. Si $\alpha \in Z_p^*$ alors $1 \cdot \alpha = \alpha$, elle admet 1 comme élément neutre.

4. $\alpha \in Z_p^*$, alors il existe $\beta \in Z_p^*$ tel que $\alpha \cdot \beta = 1$, Tout élément de Z_p^* a son élément symétrique.

Considérons $P=17$, alors $Z_{17}^* = \{1,2,3,4,\dots,16\}$

Propriété 1 : $5 \cdot 6 = 30 \text{ mod } 17 = 13$ alors $5 \cdot 6 \in Z_{17}^*$.La propriété est vérifiée.

Propriété 2: $5, 6, 4 \in Z_{17}^*$ vérifions si $(5 \cdot 6) \cdot 4 = 5 \cdot (6 \cdot 4)$

$$(5 \cdot 6) \cdot 4 = (30 \text{ mod } 17) \cdot 4 = 13 \cdot 4 = 52 \text{ mod } 17 = 1$$

$$5 \cdot (6 \cdot 4) = 5 \cdot (24 \text{ mod } 17) = 5 \cdot 7 = 35 \text{ mod } 17 = 1$$

La propriété est vérifiée.

Propriété 3 : $14 \in Z_{17}^*$, $1 \cdot 14 = 14 \text{ mod } 17 = 14$

Propriété 4: $3 \in Z_{17}^*$, il existe $\beta \in Z_p^*$, tel que $3 \cdot \beta = 1$

$$3 \beta \text{ mod } 17 = 1, 3 \beta \equiv 1 \text{ mod } 17$$

(Z_p^*, \cdot) est un groupe particulier appelé groupe cyclique. Un groupe cyclique est un groupe dont au moins un des ses éléments est un générateur.

Soit $\alpha \in Z_p^*$, α est un générateur si $\{\alpha, \alpha^2, \alpha^3, \dots, \alpha^{p-1}\} = Z_p^*$.En d autres termes tous les éléments de Z_p^* sont obtenus à partir de α exposant les valeurs de l'ensemble $\{1,2,3,\dots, p-1\}$ et α comme base . $\alpha \in Z_p^*$ est un générateur si et seulement si $\alpha^{(p-1)/q} \text{ mod } p \neq 1$, pour tout nombre premier q tel que p-1 est divisible par q.

Z_p^* étant $\{ \alpha, \alpha^2, \alpha^3, \dots, \alpha^{p-1} \}$, pour tout α générateur de Z_p^* d'après le petit théorème de Fermat, $\alpha^{p-1} = 1$. Z_p^* devient $\{ 1, \alpha, \alpha^2, \alpha^3, \dots, \alpha^{p-2} \}$. Si $\beta \in Z_p^*$, alors $\beta = \alpha^x$, $0 \leq x \leq p-2$, x est appelé logarithme discret de β de base α . $\text{Log}_\alpha \beta = x$ ou $\beta = \alpha^x$ en Z_p^* , $0 \leq \text{log}_\alpha \beta \leq p-2$.

Le problème du logarithme discret est de trouver $x \in \{0, 1, 2, \dots, p-2\}$ tel que $\alpha^x \equiv \beta \pmod{p}$, ou trouver $\text{Log}_\alpha \beta$. p étant un nombre premier supérieur à 2, α un générateur de Z_p^* , $\beta \in Z_p^* = \{1, 2, \dots, p-1\}$. Il est alors très difficile voire impossible de calculer $\text{Log}_\alpha \beta$ dans Z_p^* pour le grand nombre premier p . La difficulté de calculer $\text{log}_\alpha \beta$ ne dépend pas du générateur α mais dépend surtout du nombre premier p , plus le nombre premier est assez plus grand, plus il est difficile de calculer $\text{log}_\alpha \beta$. La recherche exhaustive est une approche naïve utilisée pour trouver $\text{log}_\alpha \beta$. Les calculs $\alpha^1, \alpha^2, \alpha^3, \dots, \alpha^{p-1}$ sont faits jusqu'à ce que β soit trouvé. Mais il est clairement remarqué que cette méthode ne peut aboutir au résultat à un temps raisonnable pour le grand nombre premier.

III.3.3. Problème du logarithme discret dans le groupe Z_n^*

Z_n^* est défini comme l'ensemble des nombres naturels appartenant dans $\{1, \dots, n\}$ qui sont premiers avec n , pour tout $n \geq 1$. (Z_n^*, \cdot) est un groupe cyclique si au moins l'une des propriétés suivantes est vérifiée :

1) $n=2$ ou $n=4$

2) $n=p^k$; $k \in \{1, 2, 3, \dots\}$ p est un nombre premier.

3) $n=2 \cdot p^k$; $k \in \{1, 2, 3, \dots\}$ p est un nombre premier.

$\alpha \in Z_n^*$ est un générateur si et seulement si $\alpha^{\varphi(n)/q} \pmod{n} \neq 1$, pour tout nombre premier q tel que $\varphi(n)$ est divisible par q . Pour (Z_n^*, \cdot) qui est un groupe cyclique, il existe $\varphi(\varphi(n))$ générateurs.

Le problème du logarithme discret dans Z_n^* est de calculer $\text{log}_\alpha \beta$, autrement dit, trouver x pour l'équation $\beta = \alpha^x$ tel que $0 \leq x \leq \varphi(n) - 1$ pour $n=2, 4, p^k \cdot 2p^k$ avec $k \in \{1, 2, 3, \dots\}$ et p un nombre premier impair, α un générateur de Z_n^* , $\beta \in Z_n^*$.

$$Z_n^* = \{ \alpha^0, \alpha^1, \alpha^2, \dots, \alpha^{\varphi(n)-1} \}$$

III.3.4. Quelques algorithmes utilisés pour résoudre le problème du logarithme discret.

Le problème est de déterminer x tel que $\text{Log}_a \beta = x$ ou $\beta = \alpha^x$. L'algorithme de la recherche exhaustive et l'algorithme de pas de bébé et pas de géant de Shanks sont traités dans notre travail. Ces deux algorithmes peuvent être utilisés dans les deux groupes traités.

Algorithme de la recherche exhaustive consiste à calculer les valeurs suivantes $\alpha^1, \alpha^2, \dots, \alpha^{\varphi(n)-1}$ jusqu'à obtenir x , α et β étant connus d'avance. Il est évident que cet algorithme n'est pas efficace pour les grands nombres.

Pour l'algorithme de pas de bébé et pas de géant de Shanks il s'agit toujours de calculer x tel que $\text{Log}_a \beta = x$ ou $\beta = \alpha^x$. Pour cet algorithme de pas de bébé et pas de géant de Shanks, $m = \lceil \sqrt{\varphi(n)} \rceil$ est d'abord calculé et x est exprimé de la façon suivante : $x = x_g \cdot m + x_b$, $0 \leq x_b, x_g < m$. L'équation $\beta = \alpha^x$ devient $\beta = \alpha^{x_g \cdot m + x_b}$.

$$\beta = \alpha^{x_g \cdot m} \cdot \alpha^{x_b}$$

$$\alpha^{x_b} = \beta / \alpha^{x_g \cdot m}$$

$$\alpha^{x_b} = \beta \alpha^{-m \cdot x_g}$$

Les valeurs x_b et x_g sont déterminées en passant par la méthode de pas de bébé et pas de géant. La méthode de pas de bébé est utilisée en premier lieu. Pour cette méthode on calcule les valeurs α^{x_b} tel que $0 \leq x_b < m$. Ces valeurs sont mémorisées pour l'utilisation ultérieure. Deuxièmement la méthode pas de géant est utilisée, elle consiste à déterminer le premier x_g ; $0 \leq x_g < m$, tel que $\alpha^{x_b} = \beta \cdot (\alpha^{-m})^{x_g}$. Si l'équation $\alpha^{x_b} = \beta \cdot (\alpha^{-m})^{x_g}$ est évaluée pour la valeur de x_g et x_b , l'algorithme est arrêté et le x est déterminé par l'expression $x = x_g \cdot m + x_b$. L'exemple suivant est résolu à titre d'exemple en utilisant l'algorithme de pas de bébé/pas de géant de Shank.

On détermine x , dans le cas suivant $\log_3 57 = x$ ou $3^x = 57$ en \mathbb{Z}_{113}^* .

$$m = \lceil \sqrt{\varphi(113)} \rceil = 11.$$

La méthode de pas de bébé est appliquée et les valeurs trouvées sont dans le tableau suivant.

Tableau 5 pas de bébé pour le cryptosystème Diffie-Hellman

x_b	0	1	2	3	4	5	6	7	8	9	10
$\alpha^{x_b} \bmod 113$	1	3	9	27	81	17	51	40	7	21	63

La méthode de pas de géant est appliquée en utilisant l'expression $57.(3^{-1})^{11.x_g}$, pour tout x_g tel que $0 \leq x_g < m$. on détermine l'inverse de 3 en utilisant l'algorithme d'Euclide étendu. Si $\alpha \in \mathbb{Z}_n^*$, $\text{PDCD}(\alpha, n) = 1$. s et t sont déterminés tel que $\alpha.s + t.n = 1$. Alors $\alpha^{-1} = s \bmod n$.

$$113 = 1.113 + 0.3$$

$$3 = 0.113 + 1.3$$

$$2 = 1 + 113 - 37.3$$

$$1 = -1.113 + 38.3$$

$$\text{Alors } s = 38, 3^{-1} = 38 \bmod 113 = 38$$

$$M \text{ étant } 11, \alpha^m = 38^{11} \bmod 113 = 58$$

Les valeurs du pas de géant sont dans la table suivante : pour x_g défini dans l'intervalle de 0 à 11, 11 exclus.

Tableau 6 Pas de géant pour le cryptosystème Diffie-Hellman

x_g	0	1	2	3	4	5	6	7	8	9	10
$57.(3^{-1})^{11.x_g}$	57	29	100	37	112	55	26	39	2	3	61

On remarque que 3 est dans le tableau de pas de bébé et de pas de géant. x_b et x_g sont respectivement 1 et 9 pour cette valeur 3. alors $X = 11 * 9 + 1 = 100$. La vérification peut être faite et donne le même résultat : $3^{100} \bmod 113 = 57$. L'algorithme de pas de bébé et pas de géant de Shanks exige une mémoire vaste pour stocker les valeurs. Pour des grands nombres, cette méthode n'est pas efficace.

III.4. Diffie-Hellman et l'attaque de l'homme du milieu

Bien que l'échange de la clé de Diffie-hellman présente un avantage basé sur le problème du logarithme discret, il peut être soumis à l'attaque de

l'homme du milieu ou man in the middle. Si les deux personnes A et B veulent échanger des valeurs publiques nécessaires pour générer des clés. Pour une attaque dite man in the middle, une autre personne C, intercepte la valeur publique de A et envoie sa propre valeur publique à B: lorsque B transmet sa valeur publique, C la substitue alors C et A se mettent donc d'accord sur une clé partagée et C et B se mettent d'accord sur une autre clé partagée. Après cet échange, C décrypte simplement tous les messages envoyés par A ou B, puis lit et éventuellement modifie avant de recrypter avec la clé appropriée et de les transmettre à l'autre partie. Cette vulnérabilité est présente car l'échange de clé Diffie-Hellman n'authentifie pas les participants. Dans notre travail ce problème est résolu par la signature numérique.

III.5. Signature numérique

Dans notre travail, la fonction de hachage et le cryptosystème RSA sont utilisés pour se rassurer de l'authenticité de l'auteur et l'intégrité des données. L'algorithme du cryptosystème RSA est défini comme suit :

1. Deux grands nombres premiers p et q sont générés aléatoirement
2. Calculer $n = pq$ et $\varphi = (p-1)(q-1)$.
3. Choisir un nombre entier e , $1 < e < \varphi$, tel que $\text{PGCD}(e, \varphi) = 1$

La clé publique est le couple (n, e) et la clé privée est le couple (n, d) . La clé privée reste toujours gardée par son créateur et la clé publique est donnée à tout le monde qui communique avec le propriétaire de la clé privée correspondante.

Pour le cas de chiffrement et de déchiffrement du message m , la clé publique est utilisée pour chiffrer le message m comme suit :

$C = m^e \bmod n$. La clé privée est utilisée pour déchiffrer le message c qui est chiffré comme suit : $m = c^d \bmod n$

Pour le cas de la signature numérique, la clé privée est utilisée par l'expéditeur pour crypter le message comme suit :

$$c = m^d \bmod n.$$

La clé publique est utilisée par le récepteur du message crypté pour décrypter le message comme suit : $m = c^e \bmod n$.

Si le récepteur ne parvient pas à décrypter le message alors qu'il est censé avoir utilisé la clé publique de l'expéditeur, il remarque que l'expéditeur n'a pas utilisé la clé privée qui correspond à la clé publique qui est utilisé pour décrypter. Le message a été envoyé par une autre personne. Mais si le message est décrypté c'est bel et bien l'expéditeur qu'on prétend avoir envoyé le message qu'il l'a envoyé.

De ce fait, le récepteur est rassuré de deux propriétés, l'authenticité de l'auteur ou la non-répudiation.

Mais cette authenticité doit être complémentaire avec l'intégrité des données pour que le système soit plus meilleur. Pour bien assurer la sécurité, la fonction de hachage est utilisée pour que l'intégrité des données soit garantie.

L'expéditeur utilise la fonction de hachage pour produire une empreinte digitale du message. L'empreinte digitale est ensuite cryptée avec la clé privée de l'expéditeur. L'empreinte digitale cryptée et le message sont envoyés. A la réception, le récepteur décrypte le message crypté en utilisant la clé publique. S'il parvient à le décrypter, c'est l'auteur prétendu qu'il l'a envoyé, l'authenticité et la non-répudiation sont vérifiées. Sinon c'est la personne inconnue qui l'a envoyé. La même fonction de hachage est appliquée par le récepteur au message reçu. Les deux empreintes digitales sont comparées, si les deux empreintes digitales sont les mêmes, le message n'a pas été modifié. Mais si les deux empreintes digitales ne sont pas les mêmes, le récepteur conclut que le message a été modifié. La signature numérique permet de s'assurer de l'intégrité du message et l'authenticité de l'auteur et la non-répudiation.

Dans notre projet les valeurs utilisées dans l'algorithme de diffie-hellman sont les suivantes :

Le nombre premier q :

311792034005135522787128926744330811750072666870677383017611284
 157797066122504823398389667277316312818720928055219945736732371
 391505979080784668006816928233396203275637052744047736179330727
 950902939002499508016084700814748359682449138106287573182504097
 343798269985666726776340285207039557317480488731965424497730756
 102969101197931311758286668651942574806826331377053780726441977
 991467758196400433232311373767312604849269793192240857040337647
 305053865562850518166153443893161575886869279241665929876063362
 174183203393141762492058663067573135232579191271035821589729535
 95806743028463088219172124157169367106958966319679

La valeur de j trouvée est:572

La valeur de h choisie est :2

La valeur de g trouvée par l'interlocuteur A est:

154581500920690333787814075637279493771957093188257399946289410
 058060765691582416981447750663276903118498544641260087087094603
 14644171950622971634693868322994787923259293696

Les valeurs a et b pour les deux interlocuteurs sont respectivement 5 et 7.

La valeur de P trouvée est:

178345043450937519034237746097757224321041565450027463086073654
 538259921822072758983878889682624930932308370847585808961410916

435941420034208830099899282949502628273664394169595305094577176
 387916481109429718585200448866036061738360906996796491860392343
 680652610431801367716066643138426626785598839554684222812701992
 490898325885216710325739974468911152789504661547674762575524811
 411119557688341047808882105794902809973782321705961770227073134
 258490811101950496391039769906888421407289227726232911889108243
 163632792340877088145457555274651833353035297407032489949325294
 56801457012280886461366455017900877985180528734856389

La valeur $g^a \text{ mod } p$ est:

177721671249046898584171282682025898986025326973408710134309677
 698559475224346741459837215277512842924665992723582828759684143
 150457899201063397352881838665632869327177134808785438732966228
 329223618281770399713152736013417411140003327138249287751709531
 207274096026744237753459967772578385495963105811669679582002742
 184842803213507775994963891616512697374862312780663304903342708
 803869437654072642199568329379321075794142678931131864553493778
 243085360571196936918023521766141465388889853457203837571689838
 898412406254282928613046075334358650158675467778134214044722555
 54997731888622915957790122593311305754022167760153646

La valeur $g^b \text{ mod } p$ est:

240691852051220681213482800596271591580570142119012114591411270
 829598869645952146635739889699105492399504370855694953900368346
 410624038233261683990189599198637875550736770075275182949828334
 571835589869029300740039472942548972867564392238016121426849744
 282532932326190201759387694969129839894121489046509631950857015
 553136410754992224862905581747817271203723154298773197583454854
 510329089379073468625203801972238672802991672411355760946324666
 536685364028426521960017791765003360355244263488334836938181296
 303714129274333760682045190264597329641865421247419917560693579
 6104581719313633758336884919143881774570998929567386

Comme le nombre premier p est échangé publiquement, la signature est indispensable. Les valeurs utilisées pour la signature avec le cryptosystème RSA sont :

Pour l'interlocuteur A

$p_A=284041297833146271048217275160142189803718056364964969847854$
 $790948989065627923405247898257776351873272473997821334284641232$
 $762464302517894908581812609782974802494562707602967994874289725$
 $394384848062506100296989987610037350544836417081660626696876904$

167922012687382904483497640142925620138349736161981830190742218
 733014259603870023516859127316409892615908058686102825050015266
 059109009292844618369215665095419614950819980237204640442217734
 440475806024160988737915519756878119938279857038324143901752065
 978312517494642437750548248410072407583841156413243749710549394
 90968469043718546087048546540713400681524159439158239

$q_A=276514391946501896100966198081039208893126708677461985881378$
 051948295545148236243762743332604459852727117744882756929649979
 742746598159090097125781024446507077804898677554306032013099306
 070103327495977808713676267968612247491764898368051774311235009
 507162802531623138524523906387905229273610167222716121537000738
 327848646445424447353782637684749545446140874422243469904419592
 160251810243121856287150697453279270541637581946125757995046537
 242543012615009505309810970588122103647573714582716315862975665
 061110701882478392951864290086773886843647079046607274703403096
 38975375339719139129021014226051223783293801625241613

$e_A = 211$

$d_A=405735745811612225677390156796705958010857866945755444523316$
 647264580216658311113820238897000821256907212410242341663633484
 643328807392895060571503184392730029955332449146226627102145426
 663321839430787909575320982315921522769294606024390421342498729
 983299020124397863038935957018141203228715207919384749802077158
 469886679691925804195602918256150347276908282706227059880355884
 079948293825311964637405500421596205555479784939515781269439949
 952297959451114587802232058365564800929091954049306490525421497
 713483759759354774443649825937854596889780620260370720845244938
 070579926072855959562674579766398179070059016041865141258484200
 540606531839632916501613030898504148767587831741367235507838362
 905227390036712873425022304938443577952009704349481159352950821
 559992952771592836453975001456886741984621614830800005787673544
 533668130062599317094061203984705680881389816339400161479733326
 695567651257220854446134563233209086347454175851637228284044877
 117159035459176810429683206100262740671557874484312030111519217
 301286682631291443340858453573789036428741493535423597482215101
 984321393906939315890453830821579814091860607157522607939508932
 380716935737165532642260929280725917930033580139472659376499934
 014897128305340018412595972500572851955

$n_A=785415067580276877228709386092706028810009265372058704535961$
 583236939685457831605652022085019938396398365307900312761712525

318737416145879429179698824833633360739221529998658883656446651
614320257980699531379749791455591204626799650194003476176763596
573175167396770175240509054411264164048246870376056717506773215
019688893715562795277726750018786452068143556431320271878487078
356597155937071784756812482467493572222075546993007613283044306
788393297653075027763953801056276816477416534902785958723522348
784817186323154655115689112595296513245355145641635065122446623
237544627535528508878204920465229502603508737475537164363276925
800302753617086272575390782708186370205640825193270406170239926
909570215722383040766307520528087985527231957724374600204495435
648813998214854952699853114096342356382093883208640038002868856
616625611976094157683169843991846793863708620802499931162473569
712234512386520975636632873441779912174189573421352463978067948
453697674102062565491174613032351552810217567487563572352876118
212341692005085095071311940288965917319334140518676366732757371
349329672780816111516723340433798257930220400389959632920436654
581522291167078376258039593577978725315625665060402706490635603
530567391326149736047012984911714599507

La clé publique de l'interlocuteur A est
 (e_A, n_A)

La clé privée de l'interlocuteur A est
 (d_A, n_A)

$p_B=210259947738463577412310425008806616217765162976348932528919$
368255245227672460312727037400780548224947752339320587739394953
190264978755712304803546300377331392847268525235317864056700866
730078155101878273738711999969022193151886531384588726169057194
948375329058182079618341409204896070381199686805021288128739297
054643928765080027775556420985360772065555254060565316926471915
073970381808625110692856701539421713316316803545480925956896060
312928486061727479490714171904828070748951232866646985697989356
018984161786867607715665790648055339178049118833089333937284596
02859079606344035504119634972040650670274621612475663

$q_B=311198987573088421188551101845652151740964985864114419202056$
273310707505493576250832145864519695260837830672428833791780764
433211384058140664035854165128693484982497234304051962670565823
949168865629428245375404492300212869350286314366050470573658129
948509403575944345977454775316217855097624935480664023807903687
026846530713111538125904069845770465483799483556179020580060911

102613941311762735637589609716000458756569131900751143207908080
 620448595932451533948871409007950856610198834791032262117581781
 204796780791556844846403577256162289902033824409261606413610060
 33993544663510713365001033585942042424285710351470677

$e_B = 751$

$d_B=$ 487042206666173293916022871016023467336695579130859038693646
 048556992301116314397746422358560258212189506203157970189973561
 892164160452496318200999851236424836992104873782859399443998691
 375275508974632499426517439512001524927230921807985785047129948
 132152835250333799227925743648120082421650005657458105388773588
 283107160719498962451776142865181252034354712933015460244616814
 716419273623666485781968939091931045389013811359219290956651488
 362976319972551427516617296791797576189807601564382878470040774
 672774497172233807850301011749949707745776098322467156955188892
 128676918596560858339693150286291921927855642126209353127283907
 578171506528654174438003466537728221557673603080390315208223090
 790191875891427150485151437818886226072367101433569227178667951
 948347805877087528279820142453627557625776954862639999459087545
 586402298807021529160095979195191256582142426267306213365928666
 550094055222568743386381693733325554452198999908970489510794048
 756685880118000526286788611052809225123787065268961430849545720
 826235396736325236047908586111056940848801594492798288378628767
 738407199162484911203168166190823754043131621867176223944771250
 668314129760385479510227221850740075853919646414631694607751207
 135578994677809109554787619996650849959

$n_B=$ 654326828633803477157304429576088772754666153716055703146562
 043767980712233188037043941308190973018522932305137094119266806
 763891385509525465060735041643211185297085438659977475818323823
 296658152486491962556913411580524410054294136454020258623246137
 830495132867621973560236553631016425578996698119411515468638577
 460847008408486083723226982632828479924508746713228283799118475
 585028398016768391453056660568944928599551649965605881052674897
 603927041680476068094775652756064364433891786717086836728086979
 927108492623162056700493845839377872123573971091543532868241248
 637989921048331314155831048059043351284113751765265211714033449
 923011669393879492248990576498835804242780389400557227653190206
 019459752688383399459677254411581238949930744005770379141075002
 315147271376949052824357085668394537657017079266281949020095933
 398580689652935632628311183967202315606953273548137213048956487

023812952556107077909851374400918177464291068469493726188356281
 797504450107434446292589008641310382963203401076875323133580082
 327571833448621521236848340774946702951907531333756154474478853
 628613737754918054840104954021629165574856419407549469655122259
 711631719369794885290959249099164659005114972215884442338797862
 904181866648941956352567731382920633851

La clé publique de l'interlocuteur B est (e_B, n_B)

La clé privée de l'interlocuteur B est (d_B, n_B)

L'interlocuteur A signe les valeurs à envoyer à l'interlocuteur B et l'interlocuteur B vérifie la signature et vice versa.

En effet, A envoie le nombre premier P signé en utilisant la fonction de hachage et sa clé privée (d_A, n_A)

P=1783450434509375190342377460977572243210415654500274630860736
 545382599218220727589838788896826249309323083708475858089614109
 164359414200342088300998992829495026282736643941695953050945771
 763879164811094297185852004488660360617383609069967964918603923
 436806526104318013677160666431384266267855988395546842228127019
 924908983258852167103257399744689111527895046615476747625755248
 114111195576883410478088821057949028099737823217059617702270731
 342584908111019504963910397699068884214072892277262329118891082
 431636327923408770881454575552746518333530352974070324899493252
 9456801457012280886461366455017900877985180528734856389

L'empreinte digitale de p est est:-1113020474

L'interlocuteur A crypte avec sa clé privée et envoie p l'empreinte digitale de p cryptée.

L'empreinte digitale cryptée est :

270105131226739971035168472884547648300633394213261594963833102
 447646919066015546779226549511611650625256440279292682079896124
 717558103821518020330001514596830273350472775318917381513743861
 685402607920038077138026242500032591196118899272823329743431550
 652356339762590236519483472882973028681147228629920181810838370
 837780855268982166526775303739322242290230798203796727887775962
 920303825243914703398030368799256917283238630606017483063376715
 331890508021506474192065359098145980870160340009647278613878133
 445535478463213831892645703569355200963181146070705784426157993
 066212218755267358460677523357465316593999638507686807059870451
 397967587999798208229795944778116429286057309451978865600732863
 028761535980320658990179760656395185852631523867632468837546982
 823110703036169100652550657450812178166809012749586748421364843
 946831486141187843409580710807871166678916462915683058869436388
 642112980629936778526723385850276691956582287292380534146499897
 296268883280949386711670417809702751952143992591488737069161355

988239632134706543589397605422570759483171196864232721364924860
 448773295368600624412402597793481703973194590840386764184861668
 137461567997778147023523870422180930786812730255411172157264755
 381413793384581156542683718058659059

L'interlocuteur B décrypte la valeur reçue et trouve l'empreinte digitale.

Si l'empreinte digitale a une valeur négative B utilise $(e_A, -n_A)$

Si l'empreinte digitale a une valeur positive B utilise (e_A, n_A)

L'empreinte digitale décryptée est= -1113020474.

B compare les deux empreintes digitales, comme elles sont égales, il est rassuré de l'intégrité, de l'authenticité et de la non-répudiation.

Les deux interlocuteurs procèdent ainsi pour toutes les autres valeurs échangées publiquement. Ces valeurs qui sont échangées publiquement sont g , $g^a \bmod p$ et $g^b \bmod p$.

.La clé secrète trouvée par l'interlocuteur A est

ZA=13338420135970351059737026233022207399185508304407285824597
 952571326045862528685285385120238691816757212659734447383761948
 722103314883039040730002575521938648519105471988033801936697014
 025259409951823816920759574901740571548820355340429569298817155
 501955244011539116095826730020372719695561330375518565542298952
 037223459860686499989746749572930375863962213746056322188869377
 794281347222816788951516635922104206084949308680495641523326061
 224236013716886414498738957687260833738145544386993345837683741
 621907947780037262324613804233244340089742324918083461801582001
 739347776536398693934265356838608410365118070096454363113

La clé secrète trouvée par l'interlocuteur B est ZB=

133384201359703510597370262330222073991855083044072858245979525
 713260458625286852853851202386918167572126597344473837619487221
 033148830390407300025755219386485191054719880338019366970140252
 594099518238169207595749017405715488203553404295692988171555019
 552440115391160958267300203727196955613303755185655422989520372
 234598606864999897467495729303758639622137460563221888693777942
 813472228167889515166359221042060849493086804956415233260612242
 360137168864144987389576872608337381455443869933458376837416219
 079477800372623246138042332443400897423249180834618015820017393
 47776536398693934265356838608410365118070096454363113

III.6. Modèle mathématique

On donne q d'au moins 160 bits de longueur; p d'au moins 1024 bits.
 On a besoin des paramètres publics (p , q , g). Les parties Alice et Bob doivent

sélectionner les clefs privées dans l'intervalle $[2, q - 2]$ L'algorithme de génération des paramètres publics :

ENTREE: nombres p et q premiers avec des bits de longueur exigée.

SORTIE: paramètres (p, q, g) .

1. Génère au hasard un nombre premier q avec la longueur des bits exigée.
2. Choisir un nombre j de longueur des bits égale à $\text{bitlen}(p) - \text{bitlen}(q)$
3. Calculer $p = jq + 1$. Si p pas premier, alors aller à 2.
4. Choisir au hasard un nombre h dans l'intervalle $1 < h < p - 1$.
5. Calculer $g = h \bmod p$. Si $g = 1$ alors aller à 4.
6. Retourner (p, q, g)

Algorithme de vérification des paramètres publics :

ENTREE: paramètres (p, q, g) .

SORTIE: Accepter ou rejeter les paramètres.

1. Tester $1 < g < p - 1$. Si non, retourner "rejeter paramètres" et stop
2. Tester la primalité de q . Si q pas premier alors retourner "rejeter paramètres" et stop
3. Tester la primalité de p . si p pas premier alors retourner "rejeter paramètres" et stop
4. Calculer $(p-1) \bmod q$. Si $\neq 0$ alors retourner "rejeter paramètres" et stop.
5. Calculer $g^q \bmod p$. Si $\neq 1$ alors retourner "rejeter paramètres" et stop
6. Retourner "Accepter paramètres"

Algorithme de génération de la clef à partager par la partie Alice

ENTREE: Paramètres (p, q, g)

SORTIE: La clef privée/publique (a, A)

1. Alice choisit un nombre a dans l'intervalle $[2, q-2]$.

2. Calcule $A = g^a \text{ mod } p$.
3. Retourne (a,A) . garde a secrète.

Algorithme de génération de la clef à partager par la partie Bob

ENTREE: Paramètres (p,q,g)

SORTIE: La clef privée/publique (b,B)

1. Bob choisit un nombre b dans l'intervalle $[2, q - 2]$.
2. Calcule $B = g^b \text{ mod } p$.
3. Retourne (b,B) . garde b secrète.

Algorithme de calcul de la clef secrète partagée par la partie Alice

ENTREE: Paramètres $(pq,g),B,a$

SORTIE: clef secrète partagée Z_A .

1. Test $1 < B < p$ et $B^q \text{ mod } p = 1$. Si non "échec" et stop.
2. Calcule $Z_A = B^a \text{ mod } p$
3. Retourner Z_A .

Algorithme de calcul de la clef secrète partagée par la partie Bob

ENTREE: Paramètres $(pq,g),A,b$

SORTIE: clef secrète partagée Z_B .

1. Test $1 < A < p$ et $A^q \text{ mod } p = 1$. Si non "échec" et stop.
2. Calcule $Z_B = A^b \text{ mod } p$
3. Retourner Z_B .

III. 7. Conclusion

Le cryptosystème de Diffie-Hellman est le mieux adapté à nos jours pour sécuriser les communications entre deux parties. Puisque la clé trouvée par échange sécurisé est employée dans les cryptosystèmes symétriques qui sont considérés comme très rapides par rapport aux cryptosystèmes asymétriques. Avec les grands nombres premiers utilisés et la signature numérique, il est impossible qu'une personne qui n'est pas concernée par la communication puisse connaître la clé.

CHAPITRE IV ETUDE DE LA COMPILATION

IV.1. Introduction

Un compilateur est un programme informatique qui transforme un code source écrit dans un langage de programmation (le langage source) en un autre langage informatique (le langage cible). Pour qu'il puisse être exploité par la machine, le compilateur traduit le code source, écrit dans un langage de haut niveau d'abstraction, facilement compréhensible par l'humain, vers un langage de plus bas niveau, un langage d'assemblage ou langage machine. Dans le cas de langage semi-compilé (ou semi-interprété), le code source est traduit en un langage intermédiaire, sous forme binaire (code objet ou bytecode), avant d'être lui-même interprété ou compilé. Inversement, un programme qui traduit un langage de bas niveau vers un langage de plus haut niveau est un décompilateur [2 .4]. La compilation est réalisée en 6 phases qui sont les trois phases d'analyse et les trois phases de synthèse. L'analyse décompose et identifie les éléments et relations du programme source et construit son image (représentation hiérarchique du programme avec ses relations), la synthèse qui construit à partir de l'image un programme en langage cible. [6]

L'étape d'analyse comprend les trois phases suivantes :

- L'analyse lexicale
- L'analyse syntaxique
- L'analyse sémantique ou contextuelle

L'étape de synthèse comprend les trois phases suivantes :

- Génération du code intermédiaire
- Optimisation du code intermédiaire
- Production du code final [7]

IV.2. Analyse lexicale

Au départ, le programme en langage source se présente comme une suite de caractères. Le premier travail est effectué par l'analyseur lexical, qui va découper cette séquence de caractères en mots constitutifs du langage. Le résultat est une séquence de mots, avec leurs types et leurs valeurs autant qu'il lui est possible de les reconnaître [8].

Un ensemble fini de symboles est appelé alphabet (par la suite, noté Σ). [9]

Une chaîne ou un mot sur un alphabet Σ est une séquence finie de symboles extraits de cet ensemble [10]. Lexème est une chaîne de caractères tandis qu'une unité lexicale est un type d'un lexème [11].

Les concepts de théorie de langage comme les langages réguliers, les automates finis déterministes, les expressions régulières, etc. sont utilisés dans cette étape.

IV.2.1. Automate fini déterministe

Pour notre travail un automate fini déterministe est utilisé pour reconnaître les mots du langage. Un automate fini déterministe est un quintuplet $M = \{Q, \Sigma, \delta, q_0, F\}$ où

- Q est un ensemble fini d'états
- Σ est un ensemble fini de symboles (un alphabet)
- $\delta : Q \times \Sigma \rightarrow Q$ est une fonction de transitions
- $q_0 \in Q$ est l'état initial
- $F \subseteq Q$ est l'ensemble (fini) des états finaux [12]

Soient les instructions suivantes issues de notre programme :

Int $ix=(x) ?1 :0$; Int $ix=(y) ?1 :0$; Int $ix=(z) ?1 :0$;

Dans le tableau 7 montre les unités lexicales et les lexèmes.

Tableau 7 Lexèmes et unités lexicales correspondantes

Lexèmes	Unités lexicales
Int	Mot clés du langage
X, y, z, ix, iy, iz	identifiants
(Parenthèse ouvrante
)	Parenthèse fermante
=	Opérateur d'affectation
?	Opérateur
0	Nombre
;	Point virgule

30												31	
31													32
32													

$\equiv_0\{0,1,2,3,4,5,6,7,8,9,10,11,13,15,16,17,18,19,20,21,23,25,26,27,28,29,30,31\}$
 $\{12,22,32\}$

$\equiv_1\{0\},\{1\},\{2\},\{3,13,23\},\{4,14,24\},\{5\},\{6,16,26\},\{7,17,27\},\{8,18,28\},\{9,19,29\},\{10,20,30\},\{11,21,31\},\{12,22,32\},\{15\};\{25\}$

$\equiv_2\{0\},\{1\},\{2\},\{3,13,23\},\{4\},\{14\},\{24\},\{5\},\{6,16,26\},\{7,17,27\},\{8,18,28\},\{9,19,29\},\{10,20,30\},\{11,21,31\},\{12,22,32\},\{15\};\{25\}$

$\equiv_3\{0\},\{1\},\{2\},\{3\},\{13\},\{23\},\{4\},\{14\},\{24\},\{5\},\{6,16,26\},\{7,17,27\},\{8,18,28\},\{9,19,29\},\{10,20,30\},\{11,21,31\},\{12,22,32\},\{15\};\{25\}$

$\equiv_4\{0\},\{1\},\{2\},\{3\},\{13\},\{23\},\{4\},\{14\},\{24\},\{5\},\{6,16,26\},\{7,17,27\},\{8,18,28\},\{9,19,29\},\{10,20,30\},\{11,21,31\},\{12,22,32\},\{15\};\{25\}$

L'automate trouvé par la minimisation est la suivante

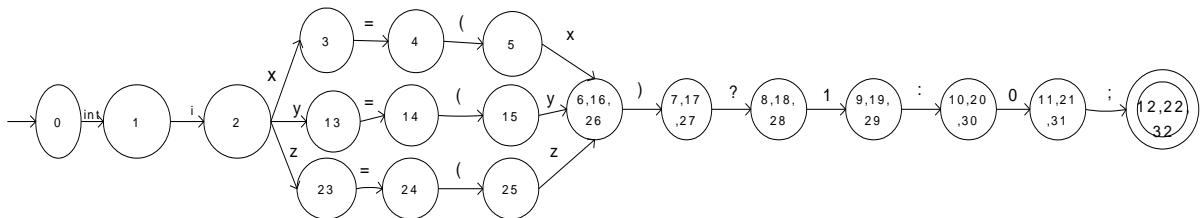


Figure 4 Automate minimisé

IV.2.3. Expression régulière

Les expressions régulières sont une façon déclarative de décrire la formation des chaînes d'un langage [13]. Les noms des états de l'automate de la figure peuvent être changés pour mieux déterminer l'expression régulière.

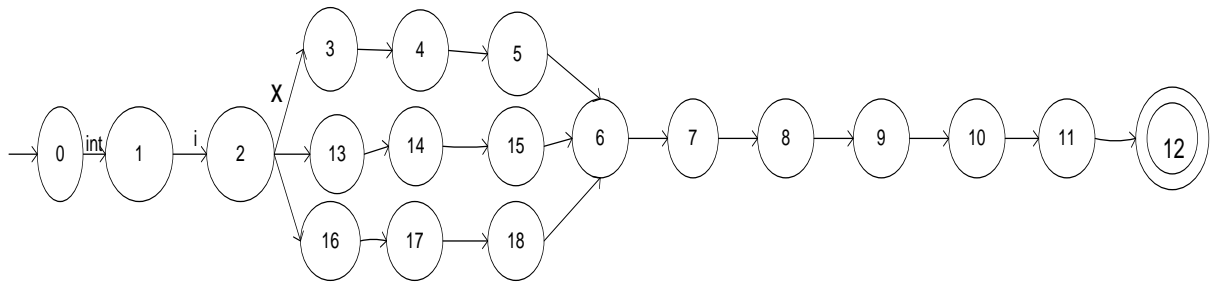


Figure 5 Automate minimisé et renommé

Le système d'équations suivant est résolu pour avoir l'expression régulière.

$$1) \quad L_0 = \text{int}L_1$$

$$2) \quad L_1 = iL_2$$

$$3) \quad L_2 = xL_3 + yL_{13} = zL_{16}$$

$$4) \quad L_3 = L_4$$

$$5) \quad L_4 = L_5$$

$$6) \quad L_5 = xL_6$$

$$7) \quad L_{13} = L_{14}$$

$$8) \quad L_{14} = L_{15}$$

$$9) \quad L_{15} = yL_6$$

$$10) \quad L_{16} = L_{17}$$

$$11) \quad L_{17} = L_{18}$$

$$12) \quad L_{16} = zL_6$$

$$13) \quad L_6 = L_7$$

$$14) \quad L_7 = L_8$$

$$15) \quad L_8 = iL_9$$

$$16) \quad L_9 = L_{10}$$

$$17) \quad L_{10} = L_{11}$$

$$18) L_{11} = ;L_{12}$$

$$19) L_{12}=\mathcal{E}$$

Ce système d'équations est résolu par substitution

$$L_{12}=\mathcal{E}$$

$$L_{11} = ; \mathcal{E}$$

$$L_{11} = ;$$

$$L_{10} = 0;$$

$$L_9 = :0;$$

$$L_8 = 1:0;$$

$$L_7 = ?1:0;$$

$$L_6 =)?1:0;$$

$$L_{18} = \varepsilon)?1:0;$$

$$L_{17} = (\varepsilon)?1:0;$$

$$L_{16} = =(\varepsilon)?1:0;$$

$$L_{15} = y)?1:0;$$

$$L_{14} = (y)?1:0;$$

$$L_{13} = =(y)?1:0;$$

$$L_5 = x)?1:0;$$

$$L_4 = (x)?1:0;$$

$$L_3 = =(x)?1:0;$$

$$L_2=x[=(x)?1:0;+ =(y)?1:0;+ =(\varepsilon)?1:0;]$$

$$L_1=ix[=(x)?1:0;+ =(y)?1:0;+ =(\varepsilon)?1:0;]$$

$$L_0=int ix[=(x)?1:0;+ =(y)?1:0;+ =(\varepsilon)?1:0;]$$

L'expression régulière est alors

$$int ix[=(x)?1:0;+ =(y)?1:0;+ =(\varepsilon)?1:0;]$$

ou

$int\ ix[\bar{=} (x)?1:0;/ = (y)?1:0;/ = (z)?1:0;]$

IV.3. Analyse syntaxique

Le procédé qui consiste à trouver une dérivation d'un mot ω d'un langage algébrique s'appelle l'analyse syntaxique [14]. L'analyse syntaxique c'est la phase qui suit immédiatement la phase d'analyse lexicale et est la deuxième phase de la compilation : Cette phase est située entre l'analyse lexicale et l'analyse sémantique.

L'analyse syntaxique a pour but de vérifier que le texte d'entrée est conforme à la grammaire, d'indiquer les erreurs de syntaxe et éventuellement de poursuivre l'analyse après une erreur (reprise sur erreur) et de construire une représentation intermédiaire pour les autres modules du compilateur [15]. Le résultat est confié à l'analyseur sémantique et ensuite le générateur du code pour terminer l'analyse et générer le code correspondant.

Les grammaires hors-contexte et les automates à pile sont deux outils théoriques utilisés dans la phase d'analyse syntaxique. Une chaîne est acceptée si elle appartient au langage engendré par la grammaire. La grammaire hors contexte est aussi appelée grammaire algébrique, ou grammaire non contextuelle et elle est donnée par un quadruplet :

$G = (V_N, V_T, P, S)$ où

- V_N est l'ensemble des symboles non-terminaux;
- V_T est l'ensemble des symboles terminaux;
- P est l'ensemble des productions de la grammaire, avec $P \subset V_N \times (V_N^+ V_T)^*$.
- $S \in V_N$ est le symbole de départ ou l'axiome de la grammaire.

Les 3 grandes méthodes d'analyse syntaxique sont: La méthode universelle, la méthode ascendante et la méthode descendante.

IV.3.1. Méthode universelle

Dans la méthode universelle toutes les dérivations sont essayées à partir de l'axiome, jusqu'à trouver le mot.

IV.3.2. Analyse syntaxique descendante.

On part de l'axiome S et on essaye de trouver une dérivation qui aboutit à un mot. L'une des méthodes utilisées est la méthode des grammaires dites Left to right Leftmost derivation (LL). LL(1) est utilisé dans notre travail. Le chiffre 1 signifie que c'est un seul symbole de prévision à chaque étape. [16] La grammaire LL(1) va permettre de déterminer laquelle des règles qu'il faut choisir si un symbole non terminal a plusieurs règles, mais également si un non terminal est annulable, elle permet de déterminer s'il faut considérer la production vide ou non. Un langage hors-contexte est dit LL(1) si et seulement s'il existe une grammaire LL(1) qui le reconnaît. L'ensemble des langages LL(1) est strictement inclus dans l'ensemble des langages hors-contexte. Pour ces grammaires on doit déterminer deux ensembles : l'ensemble premier et Suivant. Premier est pris comme l'ensemble des symboles terminaux qui peuvent débiter une dérivation. Pour $\alpha \in (V_T \cup V_N)$, Premier(α) contient l'ensemble de V_T susceptibles de commencer un mot de V_T dérivé de α . Suivant est l'ensemble des symboles terminaux qui peuvent suivre une occurrence dans une dérivation. Pour $\alpha \in (V_T \cup V_N)$, Suivant(α) contient l'ensemble des terminaux de V_T susceptibles de suivre α dans un mot de V_T dérivé de l'axiome S .

Soit la grammaire :

$$E \rightarrow E+T/T$$

$$T \rightarrow T * F / F$$

$$F \rightarrow (E) / id$$

Comme la présence des règles de grammaire récursive gauche cause des phénomènes de bouclage infini, la suppression de la récursivité à gauche est indispensable. Une variable est récursive gauche s'il existe une règle de la grammaire dont le membre droit débute par cette variable (ce cas est dit récursivité directe) ou pour laquelle un mot dérivé débute par cette variable (cas de la récursivité indirecte). La suppression de la récursivité gauche est procédée de la façon suivante pour cette grammaire.

Considérons par exemple une grammaire ayant deux règles de la forme

$$A \rightarrow A\alpha$$

$$A \rightarrow \beta$$

avec $\lambda(\alpha) \neq \{\mathcal{E}\}$.

Transformation de la grammaire

On introduit un nouveau non terminal A' et on remplace les règles

$$A \rightarrow A\alpha$$

$$A \rightarrow \beta$$

Par

$$A \rightarrow \beta A'$$

$$A' \rightarrow \mathcal{E}/\alpha A'$$

La grammaire devient

$$E \rightarrow TE'$$

$$E' \rightarrow + TE'/\mathcal{E}$$

$$T \rightarrow FT'$$

$$T' \rightarrow * FT'/\mathcal{E}$$

$$F \rightarrow (E)/id$$

Déterminons les ensembles Premier et Suivant :

$$Premier(E) = \{ (, id \}$$

$$Premier(T) = \{ (, id \}$$

$$Premier(T') = \{ *, \mathcal{E} \}$$

$$Premier(F) = \{ (, id \}$$

$$Premier(E') = \{ +, \mathcal{E} \}$$

$$Suivant(E) = \{ \$,) \}$$

$$Suivant(E') = \{ \$,) \}$$

$$Suivant(T) = \{ +, \$,) \}$$

$$Suivant(T') = \{ +, \$,) \}$$

$$\text{Suivant}(F) = \{*, +, \$,)\}$$

Le tableau 9 est une table de prédiction. les colonnes représentent les symboles terminaux tandis que les lignes représentent les symboles non terminaux.

Tableau 9 Table de prédiction

	id	+	*	()	\$
E	$E \rightarrow TE'$			$E \rightarrow TE'$		
E'		$E' \rightarrow + TE'$			$E' \rightarrow \epsilon$	$E' \rightarrow \epsilon$
T	$T \rightarrow FT'$			$T \rightarrow FT'$		
T'		$T' \rightarrow \epsilon$	$T' \rightarrow * FT'$		$T' \rightarrow \epsilon$	$T' \rightarrow \epsilon$
F	$F \rightarrow id$			$F \rightarrow (E)$		

Soit $W=id+id*id$ le mot à analyser.

Le tableau 10 montre les étapes pour aboutir à un arbre syntaxique ayant une table de prédiction. La colonne pile montre les états de la pile à chaque étape, la colonne entrées contient le mot à analyser pour chaque étape, la colonne action montre les productions qu'il faut prendre.

Tableau 10 Table de réduction

Pile	Entrées	Action
E\$	Id+id*id\$	$E \rightarrow TE'$
TE\$	Id+id*id\$	$T \rightarrow FT'$
FT'E\$	Id+id*id\$	$F \rightarrow id$
idT'E\$	Id+id*id\$	
T'E\$	+id*id\$	$T' \rightarrow \epsilon$
ϵ E\$	+id*id\$	
E'\$	+id*id\$	$E' \rightarrow + TE'$
+TE'\$	+id*id\$	
TE'\$	id*id\$	$T \rightarrow FT'$
FT'E'\$	id*id\$	$F \rightarrow id$
idT'E'\$	id*id\$	
T'E'\$	*id\$	$T' \rightarrow * FT'$
*FT'E'\$	*id\$	
FT'E'\$	id\$	$F \rightarrow id$
idT'E'\$	id\$	
TE'\$	\$	$T' \rightarrow \epsilon$
ϵ E'\$	\$	
E'\$	\$	$E' \rightarrow \epsilon$
ϵ '\$	\$	
\$	\$	

Puisque dans la pile reste \$ et du coté du mot le caractère restant est \$, on conclut que le mot est reconnu. On est parti de la racine jusqu'à représenter le mot entier sur les feuilles. Noter que le mot trouvé contient des ϵ qui sont des mots vides, les ϵ sont supprimés. L'algorithme nous permet également de représenter progressivement l'arbre syntaxique suivant.

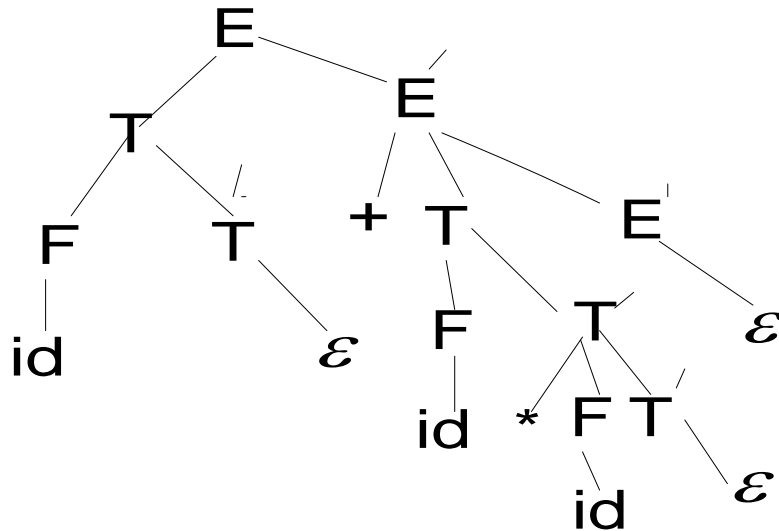


Figure 6 Arbre syntaxique

Le mot trouvé est $id\epsilon+id*id\epsilon\epsilon$.

Après avoir supprimé les mots vides symbolisés par ϵ , le mot devient $id+id*id$.

IV.3.3. Analyse syntaxique ascendante

L'analyse syntaxique ascendante ou par décalage réduction a pour but de construire un arbre d'analyse à partir des feuilles pour une chaîne d'entrée donnée w . La racine est construite après avoir construit tous les nœuds inférieurs. A chaque étape de réduction une sous-chaîne correspondant à la partie droite d'une règle de production est remplacée par la variable de la partie gauche.[17] L'analyse syntaxique ascendante part de la chaîne à analyser. Analyseur ascendant prédictif LR(k) est utilisé. Dans notre cas nous allons utiliser $K=1$ et $k=0$. (LR(0), SLR(1), LR(1), LALR(1)) sont des algorithmes et des variantes de LR(k) utilisés et basés sur les opérations de décalage/réduction. Pour l'opération de décalage, des terminaux dans le mot d'entrée sont lus. Pour l'opération de réduction, on remplace une partie droite par une partie gauche de règle de production. Pour analyser le mot donné pour une grammaire G donnée, on dispose à chaque instant, d'un suffixe du mot d'entrée et une pile contenant des terminaux et des non-terminaux. Initialement, le suffixe est le mot à analyser et la pile est vide. L'analyse

réussit si toute la chaîne a été entièrement lue et si la pile contient l'axiome. Pour une grammaire donnée, on fait d'abord l'augmentation de la grammaire. Pour une chaîne donnée le premier terminal du mot d'entrée est effacé et est placé au sommet de la pile, il s'agit d'un décalage. On applique la réduction chaque fois que les n premiers symboles sur la pile forment un membre droit de règle de production, on les dépile et on empile le membre gauche correspondant.

Prenons l'exemple de la chaîne w se trouvant dans notre programme. $W=id+id$

Soit la grammaire

$$E \longrightarrow E+T/T$$

$$T \longrightarrow id$$

La grammaire augmentée est :

$$\overset{/}{E} \longrightarrow E$$

$$E \longrightarrow E+T$$

$$T \longrightarrow id$$

$$E \longrightarrow T$$

La première règle de production est :

$$E \longrightarrow E+T$$

La deuxième règle de production est

$$E \longrightarrow T$$

La troisième règle de production est :

$$T \longrightarrow id$$

La quatrième règle de production est

$$\overset{/}{E} \longrightarrow E$$

On commence alors l'analyse en lisant de gauche vers à droite la chaîne id+id\$.



Figure 7 Premier état de la pile

Au sommet de la pile on lit le premier caractère id et la chaîne restante est +id\$. On va ensuite faire la réduction, en remplaçant le caractère id se trouvant dans la pile par T suivant la troisième règle de production. Le contenu de la pile est représenté par la figure 8 :



Figure 8 Deuxième état de la pile

Le non terminal T se trouve dans la pile la chaîne restante est toujours +id\$

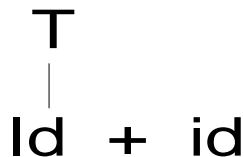


Figure 9 Réduction de id en T

Et puis le non terminal T se trouvant dans la pile va être remplacé par le non terminal E suivant la deuxième règle de reproduction. Le contenu de la pile est représenté par la figure 10



Figure 10 Troisième état de la pile

La pile contient cette fois –ci le non terminal E et la chaîne non encore analysée +id\$.

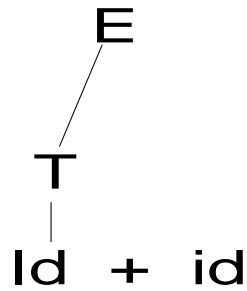


Figure 11 Réduction de T en E

Et puis on va faire le décalage en lisant le caractère + .La pile contient cette fois –ci le non terminal E et le caractère +

Le contenu de la pile est représenté par la figure 12



Figure 12 Quatrième état de la pile

Dans la pile se trouve E+, le mot non encore analysé est id\$.

Et graphiquement la situation reste comme avant.

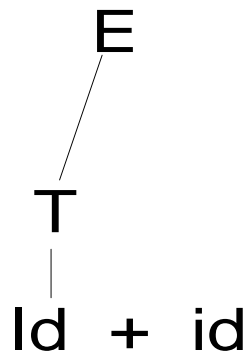


Figure 13 Précédent état de l'arbre syntaxique

On fait encore une réduction pour le caractère id .La pile va contenir le non terminal E et les deux terminaux +id.

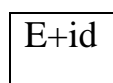


Figure 14 Cinquième état de la pile

Graphiquement on a toujours

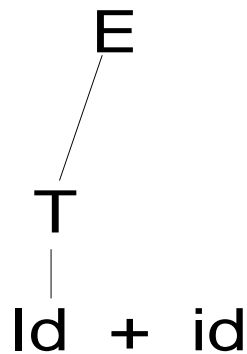


Figure 15 Etat précédent de l'arbre syntaxique

La chaîne non encore analysée est \$. Comme dans la pile il y a un caractère id on fait la réduction suivant la troisième règle de production, et le contenu de la pile est représenté par la figure 16.



Figure 16 Sixième état de la pile

Dans la pile le mot id est remplacé par le non terminal T.

L'arbre syntaxique devient

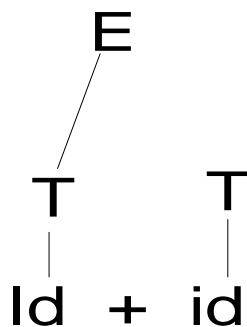


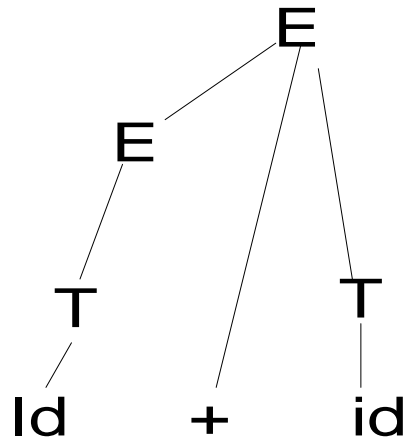
Figure 17 Réduction de id en T

Comme dans la pile il reste E+T, on applique la réduction en utilisant la première règle de production et on a les situations suivantes :

Dans la pile reste le non terminal E, la chaîne non encore analysée est \$.



Figure 18 Etat 7 de la pile

Figure 19 Réduction de $T + E$ en E

Et enfin en analysant le mot \$ on applique la réduction suivant la quatrième règle de production.

Comme on a abouti à l'axiome 'on conclut que la chaîne $id+id$ est engendrée par la grammaire. L'arbre syntaxique est représenté par la figure 20.

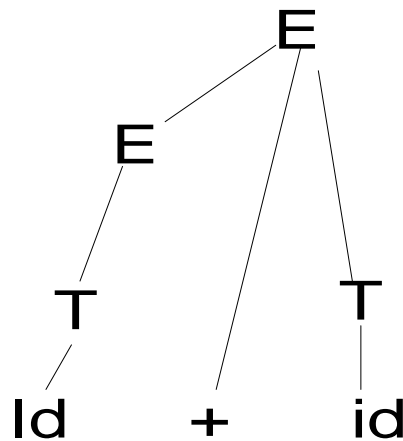


Figure 20 Arbre syntaxique complet

Mais il faut un algorithme permettant de décider à chaque étape si on doit réduire (et par quelle règle) ou décaler. On utilise un automate déterministe appelé automate LR(0) qui précise quoi faire en fonction du contenu de la pile et la première lettre de l'entrée. Les règles pointées sont utilisées pour construire les automates LR(0).

Pour une règle suivante :

$$V \longrightarrow AB$$

Les règles pointées sont :

$$V \longrightarrow \cdot AB \quad V \longrightarrow A \cdot B \quad V \longrightarrow AB \cdot$$

La première règle pointée signifie que A est déjà lu mais B n'est pas encore lu. La deuxième règle pointée signifie que A n'est pas encore lu B n'est pas non plus lu. La troisième règle pointée signifie que A et B sont tous déjà lus. Lors de la construction de l'automate, on ne considère bien-sûr que les états accessibles.

Soit id+id le mot à analyser,

Soit la grammaire

$$E \longrightarrow E+T/T$$

$$T \longrightarrow id$$

La grammaire augmentée est la suivante :

$$\overset{/}{E} \longrightarrow E$$

$$E \longrightarrow E+T$$

$$T \longrightarrow id$$

$$E \longrightarrow T$$

La construction de l'automate est totalement indépendante du mot d'entrée (pas de symbole de prévision), d'où son nom : LR(0).

On construit l'automate tel que :

Si l'état q contient une règle pointée complète $A \rightarrow B\bullet$, alors on réduit en utilisant la règle $A \rightarrow B$. Si le mot courant débute par le terminal a de Σ et s'il existe une transition $\delta(q,a) = q'$, alors on décale.

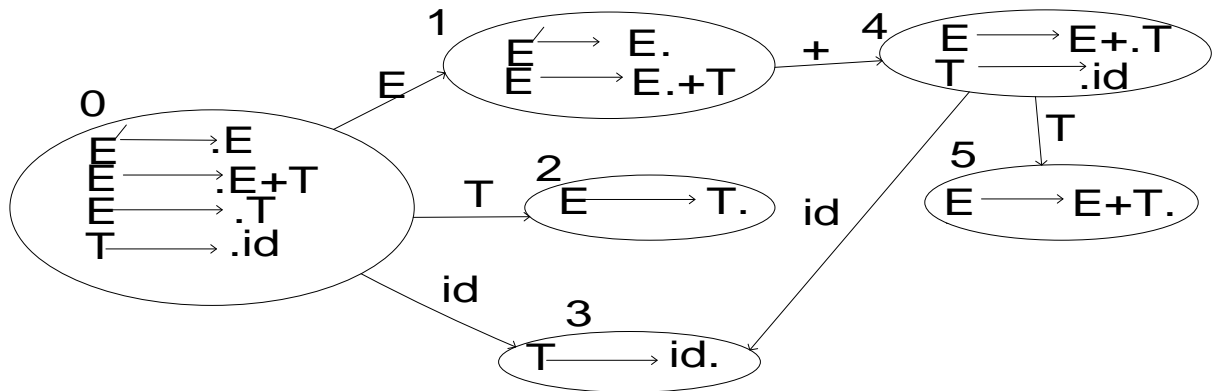


Figure 21 Automate

Si pour tout état q de l'automate, q ne contient au plus qu'une seule règle pointée complète (pas de conflit réduction/réduction) et si q contient une règle pointée complète alors pour aucun a de Σ il n'existe de transition $q' = \delta(q,a)$ (pas de conflit décalage/réduction), alors l'automate est dit LR(0)-consistant. On utilise toujours une pile. Initialement, la pile contient l'état initial 0. L'automate LR(0) est en fait codé dans deux tables, une table Action et une table Successeur:

Action : $Q \times (\Sigma \cup \{\$\}) \rightarrow$ un ensemble d'actions

Les actions sont : décaler, réduire, accepter ou erreur.

Successeur : $Q \times V \rightarrow Q$ est la restriction de la fonction de transition aux non-terminaux.

La table action est le tableau 11, les colonnes sont des symboles terminaux, et les lignes sont des numéros des états de l'automate on la remplit comme suit: lorsqu'il s'agit d'un décalage, on écrit décalage suivi du numéro de l'état de l'automate vers lequel on décale, s'il s'agit d'une réduction on écrit la production. On met "accepter" dans la case $(q,\$)$ où q est l'état contenant la production ajoutée pour l'augmentation de la grammaire, et enfin dans toutes les cases encore vide sont remplies avec le mot erreur.

Dans le tableau 11 qui est une table d'action, les colonnes représentent les symboles terminaux tandis que les lignes représentent les états de l'automate.

Tableau 11 Table d'action pour la méthode LR

	id	+	\$
0	Décalage 3	erreur	Erreur
1	erreur	Décalage 4	Accepter
2	$E \rightarrow T$	$E \rightarrow T$	$E \rightarrow T$
3	$T \rightarrow id$	$T \rightarrow id$	$T \rightarrow id$
4	Décalage 3	erreur	Erreur
5	$E \rightarrow E+T$	$E \rightarrow E+T$	$E \rightarrow E+T$

La table successeur où les colonnes sont des non terminaux et les lignes sont des numéros des états de l'automate, elle est remplie comme suit : si un non terminal permettant de quitter un état de départ vers l'autre état, on mentionne la valeur de l'état dans la case de la table correspondant à l'intersection de la colonne du non-terminal concerné et de la ligne du numéro de l'état de départ. Les autres cases de la table restent vides. Dans le tableau 12 qui est une table de successeur, les colonnes représentent les symboles non terminaux tandis que les lignes représentent les états de l'automate.

Tableau 12 Table de successeur pour la méthode LR

	E	T
0	1	2
1		
2		
3		
4		5
5		

L'analyse est faite en utilisant une pile, la pile contient la valeur zéro au départ. Le mot est alors analysé systématiquement comme suit : Le symbole \$ est ajouté au mot à analyser. On lit le numéro de la ligne au départ qui est 0 et le caractère de la chaîne à analyser, et on fait un décalage ou une réduction respectivement si la case d'intersection montre l'opération de décalage ou de réduction.

Analysons la chaîne id+id\$.au départ la pile contient la valeur 0 qui l'état 0 de l'automate.



Figure 22 Premier état de la pile

Le premier caractère à analyser est id, alors la table action nous montre que 0 et id ont pour opération décalage vers l'état 3, on remplit la table avec cette opération, en écrivant d pour symboliser le décalage. Le contenu de la pile est représenté par la figure 23

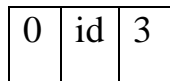


Figure 23 Deuxième état de la pile

La pile contient 0, id et 3 et le mot non encore analysé est +id\$.On avance en lisant le caractère +.comme dans la pile la valeur qui est à la tête est 3, on regarde dans la table action 3 comme numéro de la ligne et + comme la colonne l'opération correspondante est la réduction, la réduction est alors faite suivant la production indiquée dans la table. Dans la pile id est remplacé par T comme le stipule la règle de production dans la table action éventuellement la valeur de décalage de id est effacée.

Le contenu de la pile est représenté par la figure 24

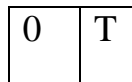


Figure 24 Etat 3 de la pile

La pile contient 0 et T, le mot non encore analysé est +id\$.Ayant 0 et T dans la pile, on regarde dans la table Successeur ce qui suit T étant en 0.on a alors 2, la valeur 2 est ajoutée dans la pile. Le contenu de la pile est représenté par la figure 25.

0	T	2
---	---	---

Figure 25 Etat 4 de la pile

Etant dans 2 on veut lire le caractère +. La table Action nous montre qu'il s'agit de faire la réduction .T et 2 sont alors remplacés par E. Le contenu de la pile est représenté par la figure 26.

0	E
---	---

Figure 26 Etat 5 de la pile

Le mot non encore analysé est +id\$. Graphiquement, l'arbre syntaxique se présente comme montré à la Figure 27.

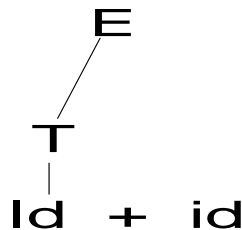


Figure 27 Réduction de T en E

Avec les éléments se trouvant dans la pile 0 et E, dans la table successeur nous donne 1. la pile contient alors 0, E et 1,

0	E	1
---	---	---

Figure 28 Etat 6 de la pile

On veut lire + étant en 1, la table action nous montre qu'il s'agit de faire un décalage. Le mot non encore analysé est id\$

Le contenu de la pile est représenté par la figure 29.

0	E	1	+	4
---	---	---	---	---

Figure 29 Etat 7 de la pile

La lecture concerne cette fois id étant en 4, la table action nous montre qu'on fait un décalage vers l'état 3 de l'automate. Le mot qui n'est pas encore analysé est \$. Le contenu de la pile est représenté par la figure 30.

0	E	1	+	4	id	3
---	---	---	---	---	----	---

Figure 30 Etat 8 de la pile

En lisant le \$ qui reste et étant dans 3, la table action nous montre qu'on fait une réduction en suivant la production montrée dans la table. id et 3 sont remplacés par T. Le contenu de la pile est représenté par la figure 31.

0	E	1	+	4	T
---	---	---	---	---	---

Figure 31 Etat 9 de la pile

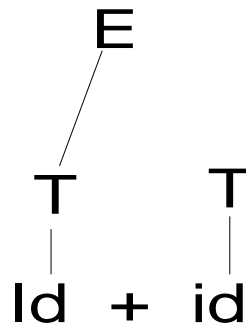


Figure 32 Réduction de id en T

Dans la table successeur 4 et T nous donnent 5. Le contenu de la pile est représenté par la figure

0	E	1	+	4	T	5
---	---	---	---	---	---	---

Figure 33 Etat 10 de la pile

Comme le caractère \$ n'est pas encore lu, on essaie de le lire. La table action nous montre que étant en 5 en essayant de lire \$ on fait un décalage en suivant la production montrée dans la table action. Le \$ est alors lu. Dans la pile E+T est remplacé par E.

0	E
---	---

Figure 34 Etat 11 de la pile

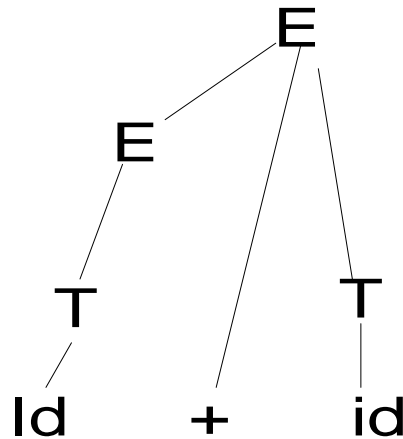


Figure 35 Réduction de E+T en E

En considérant les éléments de la pile et la table successeur, 0 et E donnent 1.

0	E	1
---	---	---

Figure 36 Etat12 de la pile

Etant dans 1 en lisant le caractère \$, la table action nous montre qu'on trouve accepter comme action. Le mot est alors accepté, il est engendré par la grammaire.

L'arbre syntaxique est représenté à la figure 37.

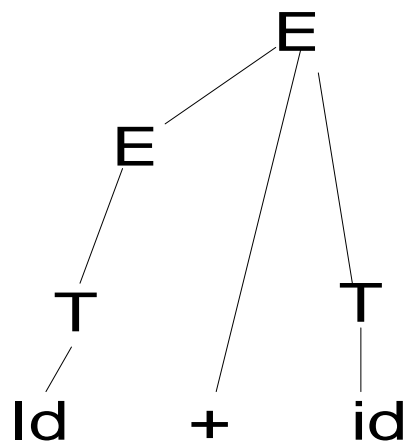


Figure 37 Arbre syntaxique obtenue par LR

LR(0) n'est pas efficace pour tous les mots avec des grammaires respectives, ils peuvent présenter des conflits de réduction –réduction si un état présente deux cas de réduction à la fois ou des conflits de décalage-réduction les deux

situations en même temps. Si de telles situations se présentent on va utiliser les algorithmes d'analyse Comme SLR(0).

Prenons le mot extrait du programme $id+id*id$, et la grammaire suivante :

$$\begin{array}{l} E \longrightarrow E+T/T \\ T \longrightarrow T*F/F \\ F \longrightarrow id \end{array}$$

La grammaire augmentée est la suivante :

$$\begin{array}{l} E' \longrightarrow E \\ E \longrightarrow E+T/T \\ T \longrightarrow T*F/F \\ F \longrightarrow id \end{array}$$

L'automate correspondant est le suivant :

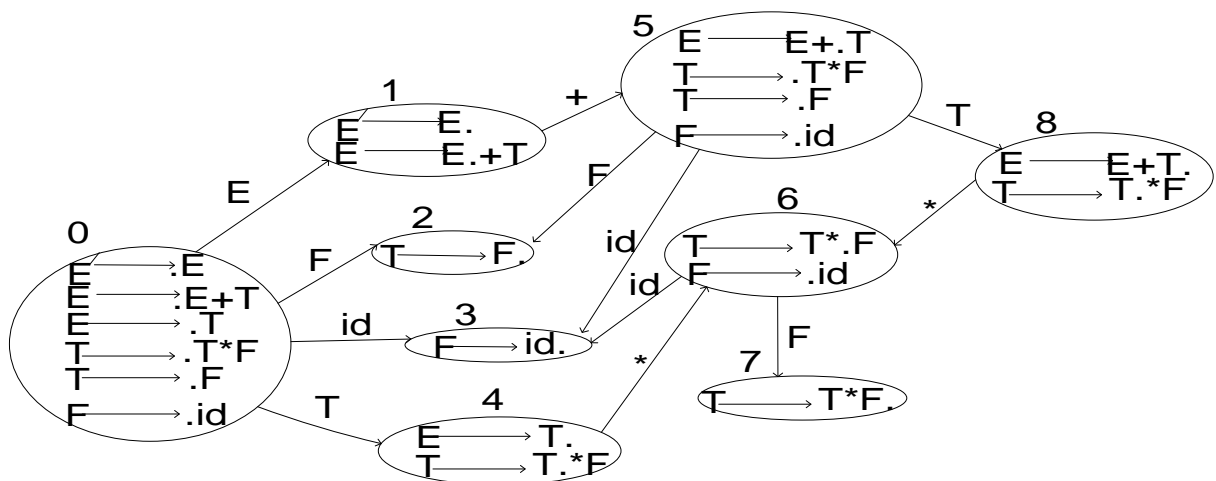


Figure 38 Automate SLR

En essayant de faire l'analyse par LR(0), il y a des conflits de décalage/réduction. Pour l'état 4 ça nous montre qu'il faut faire la réduction vers l'état alors qu'il y a une règle pointée complète qui fait qu'on devrait faire la réduction, c'est une situation non déterministe pour laquelle on n'est pas sûr de quelle opération il faut choisir entre décalage et réduction. C'est le même cas pour l'état 8, on a le conflit de décalage/réduction. Ce problème des conflits décalage/réduction est résolu en regardant si le terminal présent en tête du mot restant à analyser appartient dans l'ensemble des Suivants du non-

terminal en membre gauche de la règle utilisable pour la réduction. Si ce n'est pas le cas, donc la seule opération possible est le décalage. Ce qui est indispensable alors est de déterminer l'ensemble Premier et l'ensemble Suivant au préalable.

$$\text{Premier}(F) = \{id\}$$

$$\text{Premier}(T) = \{id\}$$

$$\text{Premier}(E) = \{id\}$$

$$\text{Premier}(\acute{E}) = \{id\}$$

$$\text{Suivant}(\acute{E}) = \{\$, \}$$

$$\text{Suivant}(E) = \{\$, +\}$$

$$\text{Suivant}(T) = \{\$, +, *\}$$

$$\text{Suivant}(F) = \{\$, +, *\}$$

Dans le tableau 13 qui est une table d'action, les colonnes représentent les symboles terminaux tandis que les lignes représentent les états de l'automate.

Tableau 13 Table d'action pour la méthode SLR

	+	*	id	\$
0	Erreur	Erreur	Décalage 3	Erreur
1	Décalage 5	Erreur	Erreur	Accepter
2	$T \rightarrow F$	$T \rightarrow F$	Erreur	$T \rightarrow F$
3	$F \rightarrow id$	$F \rightarrow id$	Erreur	$F \rightarrow id$
4	$E \rightarrow T$	Décalage 6		$E \rightarrow T$
5	Erreur	Erreur	Décalage 3	Erreur
6	Erreur	Erreur	Décalage 3	Erreur
7	$T \rightarrow T * F$	$T \rightarrow T * F$	Erreur	$T \rightarrow T * F$
8	$E \rightarrow E + T$	Décalage 6	Erreur	$E \rightarrow E + T$

Dans le tableau 14 qui est une table de successeur, les colonnes représentent les symboles terminaux tandis que les lignes représentent les états de l'automate.

Tableau 14 Table de successeur pour la méthode SLR

	E	T	F
0	1	4	2
1			
2			
3			
4			
5		8	2
7			
8			
9			

La pile est toujours utilisée avec comme contenu au départ la valeur 0 qui est l'état de départ. Au départ le contenu de la pile est représenté par la figure 39

0

Figure 39 Etat 1 de la pile

La pile contient 0 comme valeur ; la chaîne à analyser est $id+id*id\$$, Etant en 0 et en lisant id , le décalage vers l'état 3 est fait d'après la table action, le contenu de la pile devient 0, id , 3. Le contenu de la pile est représenté par la figure 40.

0	id	3
---	------	---

Figure 40 Etat 2 de la pile

On poursuit la lecture de la chaîne restante, + est le caractère qui est concerné par l'analyse, étant dans 3 la table action nous montre qu'on fait une réduction ; id est alors remplacé par le symbole non terminal F. La situation devient :

0	F
---	---

Figure 41 Etat 3 de la pile

F
|
id+id*id

Figure 42 Réduction de id en F

La table successeur indique que dans 0 , F avance vers 2. Le contenu de la pile est représenté par la figure 43.

0	F	2
---	---	---

Figure 43 Etat 4 de la pile

La chaîne qui n'est pas encore analysée est toujours +id*id\$. Etant dans 2 en essayant de lire +, la table action montre qu'il faut faire une réduction en remplaçant F par T.

0	T
---	---

Figure 44 Etat 5 de la pile

La chaîne qui n'est pas encore analysée est toujours +id*id\$

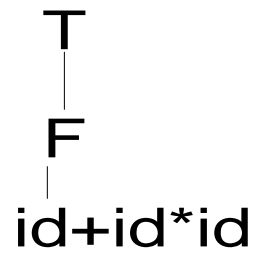


Figure 45 Réduction de F en T

Etant dans 0 et le symbole non terminal est T on a la valeur 4.

0	T	4
---	---	---

Figure 46 Etat 6 de la pile

Le caractère à analyser est +, la réduction est alors faite en utilisant la production montrée dans la table action. Le symbole non terminal T est remplacé par le symbole non terminal E dans la pile.

0	E
---	---

Figure 47 Etat 7 de la pile

La chaîne restante est +id*id\$, graphiquement, l'arbre syntaxique est représenté comme montré à la figure 48.

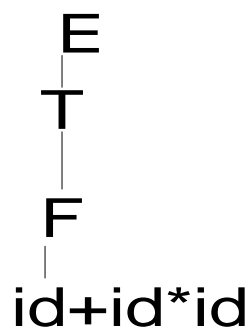


Figure 48 Réduction de T en E

Ayant 0 et E on a comme valeur 1 d'après la table Successeur .1 la pile contient alors 0, E et 1.

0	E	1
---	---	---

Figure 49 Etat 8 de la pile

Etant dans 1 comme le montre la pile et en essayant de lire le caractère +, c'est le décalage vers 5 qui est fait d'après ce qui est décrite dans la table action.

0	E	1	+	5
---	---	---	---	---

Figure 50 Etat 9 de la pile

La chaîne qui n'est pas encore analysée est id*id\$. La pile montre qu'on est en 5, on veut lire id, la table action nous montre que id va être lu, on fait le décalage vers 3. Le contenu de la pile est représenté par la figure 51.

0	E	1	+	5	id	3
---	---	---	---	---	----	---

Figure 51 Etat 10 de la pile

Etant dans 3 et qu'on veut lire *, on applique la réduction selon la table action, id est alors remplacé par F.

0	E	1	+	5	F
---	---	---	---	---	---

Figure 52 Etat 11 de la pile

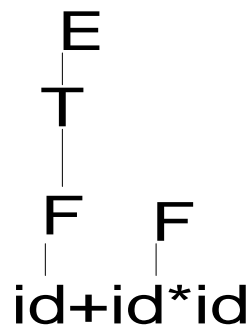


Figure 53 Réduction de id en F

La table successeur indique que 5 et E donnent 2.

0	E	1	+	5	F	2
---	---	---	---	---	---	---

Figure 54 Etat 12 de la pile

Etant alors en 2 en lisant *, c'est la réduction qui est appliquée F est remplacé par T.

0	E	1	+	5	T
---	---	---	---	---	---

Figure 55 Etat 13 de la pile

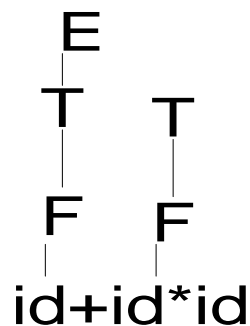


Figure 56 Réduction de F en T

D'après la table Successeur 5 et T donnent 8.

0	E	1	+	5	T	8
---	---	---	---	---	---	---

Figure 57 Etat 14 de la pile

Etant dans 8,* est lu en faisant le décalage selon la table action.

0	E	1	+	5	T	8	*	6
---	---	---	---	---	---	---	---	---

Figure 58 Etat 15 de la pile

La chaîne qui n'est pas encore analysée est id\$, on procède son analyse comme suit. Etant dans 6 pour lire id, un décalage est appliqué. Id est lu et on décale vers 3.

0	E	1	+	5	T	8	*	6	id	3
---	---	---	---	---	---	---	---	---	----	---

Figure 59 Etat 16 de la pile

La chaîne qui n'est pas encore analysée est \$. Etant dans 3 lire \$ revient à faire la réduction selon la table action, id est remplacé par F .

0	E	1	+	5	T	8	*	6	F
---	---	---	---	---	---	---	---	---	---

Figure 60 Etat 17 de la pile

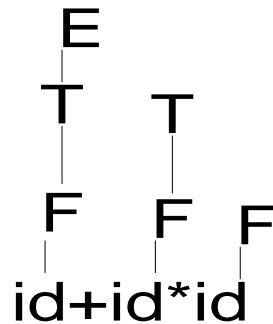


Figure 61 Réduction de F en T

Dans la table de successeur 6 et F donnent 7.

0	E	1	+	5	T	8	*	6	F	7
---	---	---	---	---	---	---	---	---	---	---

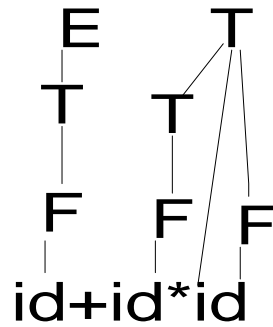
Figure 62 Etat 18 de la pile

Maintenant c'est le caractère \$ qui est concerné par la lecture . Etant dans 7 lire \$ revient à faire la réduction selon la production respective, T*F sont remplacés par T .

0	E	1	+	5	T
---	---	---	---	---	---

Figure 63 Etat 19 de la pile

L'arbre syntaxique devient

Figure 64 Réduction de $T * F$ en T

Etant dans 5 et comme non terminal T , la table successeur montre qu'on a 8.

0	E	1	+	5	T	8
---	---	---	---	---	---	---

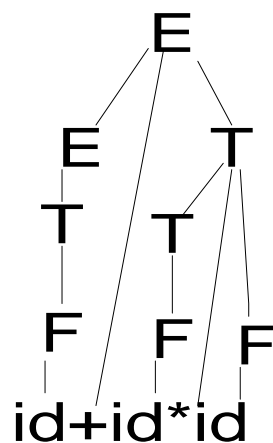
Figure 65 Etat 20 de la pile

Lire \$ étant dans 8, la table action nous montre qu'il faut faire la réduction en remplaçant $E+T$ par E .

0	E
---	---

Figure 66 Etat 21 de la pile

L'arbre syntaxique correspondant est représenté à la figure 67.

Figure 67 Réduction de $E+T$ en E

Etant à 0 et un non terminal E la table de successeur nous montre qu'on avance vers 1.

0	E	1
---	---	---

Figure 68 Etat 22 de la pile

En lisant \$ étant dans 1, la table action nous montre accepter comme action. la chaîne est alors engendrée par la grammaire, l'arbre syntaxique est représenté à la figure 69.

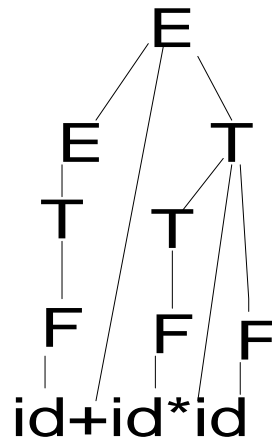


Figure 69 Arbre syntaxique obtenue par SRL

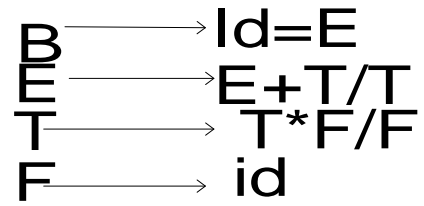
IV.4. Analyse sémantique

Le but de l'analyse sémantique est de vérifier la présence d'erreurs d'ordre sémantique (vérification de type). Utilisation de l'arbre résultat de l'analyse syntaxique. [18]

IV.4.1 Arbre syntaxique décoré et l'arbre syntaxique abstrait

L'arbre syntaxique ou arbre de dérivation d'un mot du langage généré par une grammaire est souvent inutilement complexe. Lorsqu'on génère un arbre lors de l'analyse syntaxique, on préfère une représentation condensée appelée arbre abstrait. Dans celui-ci, les mots-clés sont souvent supprimés et les opérateurs remontés sur le nœud père [19].

La construction de l'arbre syntaxique abstrait doit être faite pendant cette phase de l'analyse sémantique. C'est un résumé de l'arbre syntaxique où les éléments utiles pour la suite sont seulement conservés sur cette représentation. Durant cette phase, l'arbre syntaxique décoré est dressé en utilisant des grammaires attribuées. Considérons le mot $h=t*h+s$ extrait de notre programme et la grammaire suivante :



Pendant la phase d'analyse syntaxique le mot $h=t+h*s$ est représenté comme montre la figure 70.

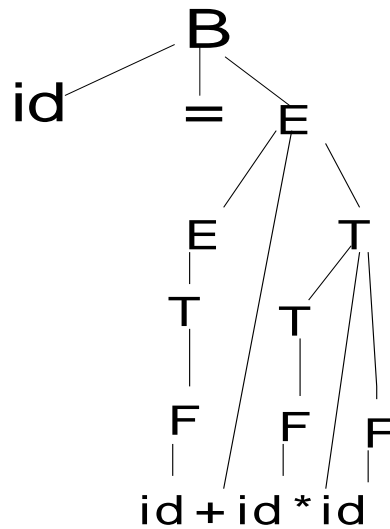


Figure 70 Arbre syntaxique du mot

L'arbre syntaxique abstrait correspondant est la figure 71.

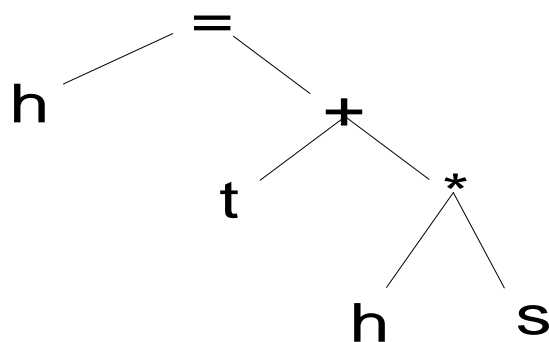


Figure 71 Arbre syntaxique abstrait du mot analysé

IV.4.2 Traduction dirigée par la syntaxe

La traduction dirigée par la syntaxe est réalisée en attachant des actions sémantiques aux règles de la grammaire. Elle repose sur deux concepts :

-Les attributs. Un attribut est une quantité quelconque associée à une construction du langage de programmation.

- Les schémas de traduction sont une notation permettant d'attacher des fragments de programme aux règles de la grammaire.[20] La syntaxe est enrichie par des attributs et les règles d'attribution. [21] Des attributs sont associés à chaque symbole de la grammaire et les actions sémantiques sont associées à chaque production pour déterminer la valeur des attributs associés. La traduction dirigée par la syntaxe est constituée par l'ensemble des actions sémantiques et la grammaire. Les attributs sont groupés dans deux catégories : les attributs synthétisés et les attributs hérités .Un attribut est synthétisé si sa valeur à un nœud d'un arbre syntaxique est déterminée à partir des valeurs d'attributs des fils de ce nœud. L'attribut de la partie gauche est calculé en fonction des attributs de la partie droite. Un attribut hérité est un attribut dont la valeur à un nœud d'un arbre syntaxique est déterminée en fonction des attributs du père et/ou des frères de ce nœud. Les calculs des attributs sont effectués à partir du non terminal de la partie gauche. Un arbre syntaxique sur les nœuds duquel on rajoute la valeur de chaque attribut est appelé arbre syntaxique décoré. Dans notre travail avec cette grammaire ci-dessous, la traduction dirigée par la syntaxe, et l'arbre syntaxique décoré sont illustrés dans le tableau 15.

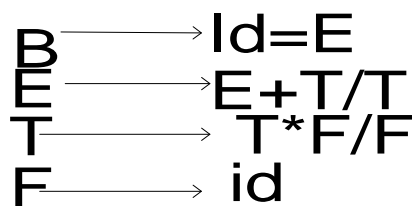


Tableau 15 Attribut valeur

Production	Actions sémantiques
$\mathbf{B} \longrightarrow \mathbf{id=E}$	$\mathbf{B.valeur=id.valeur=E.valeur}$
$\mathbf{E} \longrightarrow \mathbf{E+T}$	$\mathbf{E.valeur=E.valeur+T.valeur}$
$\mathbf{E} \longrightarrow \mathbf{T}$	$\mathbf{E.valeur=T.valeur}$

$T \rightarrow T * F$	$T.valeur = T.valeur * F.valeur$
$T \rightarrow F$	$T.valeur = F.valeur$
$F \rightarrow id$	$F.valeur = id.valeur$

Pour les attributs synthétisés les valeurs sont calculées à partir des feuilles vers l'axiome. L'arbre décoré correspondant à cette Traduction dirigée par la syntaxe avec des valeurs, 4, 7, 5 qui peuvent être affectées aux identifiants est représenté comme indiqué sur la figure 72.

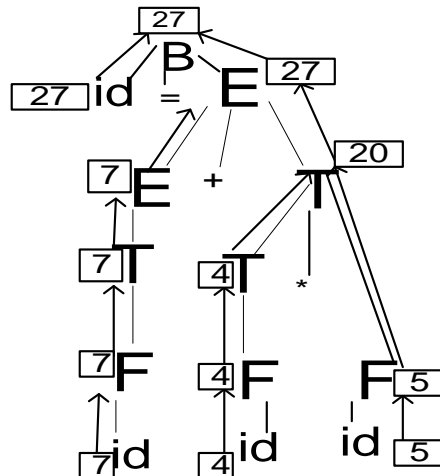


Figure 72 Attributs synthétisés

Il est illustré dans le tableau suivant, l'attribut type qui est considéré comme attribut hérité.

Tableau 16 Attribut type

Production	Actions sémantiques
$B \rightarrow id = E$	$B.type = id.type = E.type$
$E \rightarrow E + T$	$E.type = E.type + T.type$
$E \rightarrow T$	$E.type = T.type$

$T \rightarrow T * F$	$T.type = T.type * F.type$
$T \rightarrow F$	$T.type = F.type$
$F \rightarrow id$	$F.type = id.type$

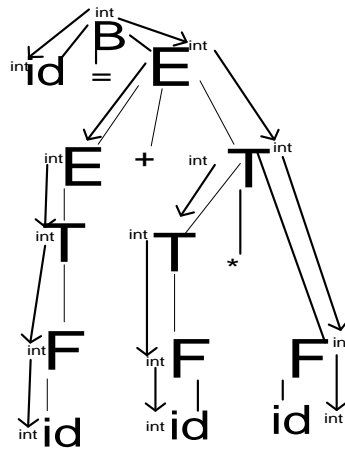


Figure 73 Attribut hérité

IV.5. Phase de synthèse

Pendant cette phase le code cible est généré à partir de la représentation intermédiaire produite à la fin de la phase d'analyse. Cette représentation intermédiaire peut être sous forme d'arbre syntaxique abstrait ou sous forme de code en trois adresses.

IV.5.1 Génération du code à partir du code en trois adresses.

La représentation sous forme de code en trois adresses est constituée par une suite d'instructions dont chacune a au plus trois opérandes. Pour ce cas la génération de code cible est effectuée en trois étapes qui sont les suivantes :

- la génération de code intermédiaire
- L'optimisation de code intermédiaire
- La génération de code cible

La génération de code intermédiaire traduit l'arbre de syntaxe abstraite en un code pour une machine abstraite [22] Traduction dirigée par la syntaxe peut être utilisée pour générer le code intermédiaire. Avec la grammaire suivante le code intermédiaire du mot $h = t + h * s$ peut être généré.

B	→	id=E
E	→	E+T/T
T	→	T*F/F
F	→	id

Tableau 17 Production et actions sémantiques correspondantes

Production	Actions sémantiques
$B \rightarrow id=E$	Generer(id.nom=E.place)
$E \rightarrow E+T$	E.place=new temp() ;generer(E.place=E.place+T.place)
$E \rightarrow T$	E.place=T.place
$T \rightarrow T*F$	T.place=new temp() ;generer(T.place=T.place*F.place)
$T \rightarrow F$	T.place=F.place
$F \rightarrow id$	F.place=id.nom

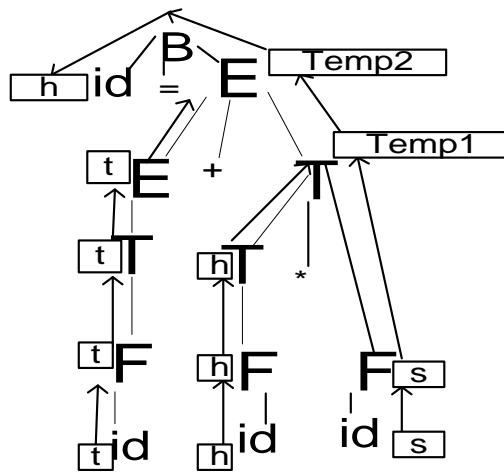


Figure 74 Arbre syntaxique décoré

Temp1 = h*s

Temp2 = t+temp2

h = temp2

L'optimisation du code intermédiaire est réalisée pour que l'exécution soit la plus rapide que possible. En optimisant le code, le compilateur commence par réaliser un travail sur le code intermédiaire en diminuant la taille du code (travail sur les boucles : réduction du nombre de variables et du nombre d'opérations). [23] Le code optimisé issu du code intermédiaire est le suivant :

Temp1= h*s

h=t+temp1

Le compilateur produit du code en langage d'assemblage, qui est ensuite traduit par un assembleur en code machine. [24] Pour notre cas le code en langage d'assemblage du code optimisé précédemment est le suivant.

LOAD@s,R0;

LOAD@h,R1;

MUL R1, R0;

STORE R0,temp1 ;

LOAD@t,R0;

ADD temp1,R0 ;

STORE R0,@h ;

IV.5.2.Génération du code à partir de l'arbre syntaxique abstrait.

Considérons l'arbre abstrait de la figure 75 qui est généré au niveau de l'analyse sémantique.

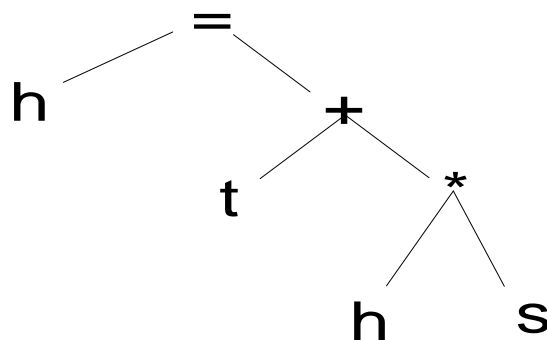


Figure 75 Arbre syntaxique abstrait pour la génération du code

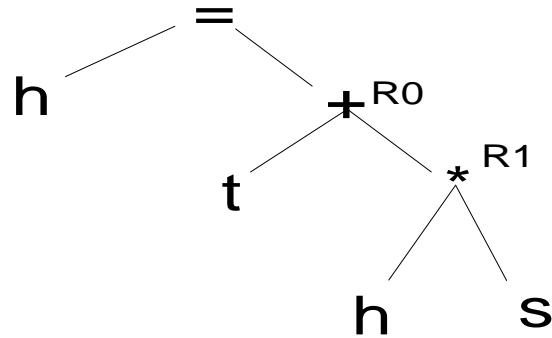


Figure 76 Manipulation des variables par des registres

LOAD@s,R1;

MUL @h, R1;

LOAD@t,R0;

ADD R1, R0;

STORE R0, @h;

IV.6.Conclusion

Pour bien maîtriser la carrière de développement des logiciels, il est nécessaire de savoir le fonctionnement du compilateur puisqu'on pourrait donner naissance à un compilateur nouveau dédié à des tâches quelconques spécifique des clients.

CONCLUSION GENERALE ET RECOMMANDATIONS

CONCLUSION GENERALE

Notre travail concerne l'étude de la compilation de l'implémentation de l'algorithme du cryptosystème de diffie-hellman et il est constitué de 4 chapitres.

Dans le premier chapitre qui concerne l'introduction générale, nous avons expliqué l'importance de notre projet vis-à-vis des entreprises.

Dans le deuxième chapitre, les quatre systèmes cryptographiques avec échange sécurisé des clés sont explorés. Les systèmes cryptographiques avec échange de clé sécurisé sont de grande importance puisque la clé est échangée entre les interlocuteurs sans que l'espion aperçoive la clé. Cet échange est effectué dans les meilleurs délais contrairement à l'échange de clé pour les cryptosystèmes asymétriques.

Le troisième chapitre est dédié à l'implémentation du cryptosystème de diffie-hellman. Cet algorithme consiste à la génération des clés. L'importance de cet algorithme réside à la difficulté de résoudre un problème du logarithme discret dans certains groupes et surtout si les nombres utilisés sont grands comme ceux de 512 bits, 1024bits ou 2048bits voire plus. L'application du cryptosystème de diffie-hellman pouvant être heurtée à l'attaque dite man in the middle, une signature numérique est utilisée pour pallier à cette attaque. La fonction de hachage et le cryptosystème RSA sont utilisés comme signature numérique.

Le quatrième chapitre est dédié à l'étude de la compilation proprement dite. En premier lieu, pendant la phase d'analyse quelques exemples d'instruction de notre programme sont analysés en utilisant un automate à état fini pendant l'analyse lexicale. Des algorithmes comme LL(1) pour l'analyse syntaxique descendante et les algorithmes LR(0), SLR(0) sont utilisés pour l'analyse syntaxique ascendante pendant la phase d'analyse syntaxique. Pendant cette phase nous avons montré avec des exemples à l'appui tirés de notre programme comment une suite des mots peut être acceptée par une grammaire s'il appartient au langage. L'arbre syntaxique est aussi dressé. Cet arbre syntaxique est traité pendant l'analyse sémantique en combinaison avec les attributs pour vérifier le sens. L'arbre syntaxique abstrait de la phase d'analyse sémantique est aussi obtenu à partir de cet arbre syntaxique. Cet arbre

syntaxique abstrait est ensuite utilisé pour générer le code final pendant la phase de synthèse. Un code cible est généré en assembleur.

Recommandations

Des recommandations sont adressées aux futurs lauréats et aux entreprises utilisant le compilateur et aux entreprises qui intègre le système de chiffrement.

Recommandations adressées aux entreprises

- Les développeurs doivent approfondir le fonctionnement d'un compilateur.
- Les entreprises devraient s'équiper des outils nécessaires à la cryptographie quantique.

Recommandations aux futurs lauréats

Pour futurs lauréats qui sont intéressés par la programmation et la cryptographie ; ils sont appelés à approfondir:

- Les notions de la physique quantique et les outils à utiliser pour la mise en jeu de la cryptographie quantique.

Le fonctionnement d'un compilateur qui leur permettra de bien développer des logiciels.

- Les systèmes cryptographiques avec échange sécurisé des clés.

REFERENCES

OUVRAGES

- [1] S .Pasini,les versions theoriques d'ElGamal,Mars 2005
- [2] R.Alléaume,Cryptographie quantique,Ecole Nationale Supérieure des Télécommunications-Paris,17
- [3] Cécile GONÇALVES,Cryptographie Avancée, Université Paris-Est
- [4] Cécile GONÇALVES,Cryptographie Avancée, Université Paris-Est
- [5] Adderrahmane NITAJ ,Université de Caen,France Rabat 29 Octobre 2008
- [6] Théorie des langages et de la compilation,Thierry Massart,
- [7] Cédric Bastoul,introduction à la compilation,Université de Strasbourg
- [8] Jean Méhat,Interprétation et compilation,Université de Paris 8 Vincennes Saint Denis,
- [9] H.Fouchal,Langages et Compilation,Université de Reims Champagne-Ardenne
- [10] Prof. M.D. RAHMANI,Cours de Compilation,Université Mohammed V – Agdal
- [11] A KHOUMSI, ORGANISATION DES LANGAGES ET COMPILATION,Université de Sherbrooke,Hiver 2002
- [12] Jean-Guy Mailly,Theorie des langages, Université Paris Descartes
- [13] Claude M,Théorie des Langages, Université de Technologie de Compiègne,Printemps
- [14] Anne BERRY,Support de cours de Compilation,M1 Informatique,2013-2014
- [15] Jacques Farré,Compilation, Université de Nice
- [16] E. RAMAT,Compilation, Université de Technologie de Compiègne,Mars 2009

- [17] Claude M, Théorie des Langages, Université de Technologie de Compiègne, Printemps
- [18] Michaël Krajecki, Langages et compilation, Université de Reims Champagne-Ardenne
- [19] Michel Meynard, Interprétation et Compilation, 14 janvier 2016
- [20] Alexis Nasr, Carlos Ramisch, Sylvain Sené, Aix Marseille Université
- [21] Martin Odersky, Grammaires Attribuées, 16 décembre 2005
- [22] Cédric Bastoul, introduction à la compilation, Université de Strasbourg
- [23] Romaric DAVID, Compilation, LEM2I - Décembre 2011.
- [23] Abdelmajid Dargham, Introduction à la compilation, Université Mohamed Premier, Septembre, 2012

WEBOGRAPHIE

- [2.1] <https://www.securiteinfo.com> cryptographie visité le 12 septembre 2018.
- [2.2] <http://www.lkb.upmc.fr/quantumoptics> visité le 5 Juillet 2018
- [2.3] <https://pastel.archives-ouvertes.fr/pastel-00003416> visité le 5 Juillet 2018
- [2.4] <http://www.ictea.com/cs/knowledgebase.php> visité le 20 septembre, 2018.